

Заказчик - Администрация городского округа Тольятти,
Департамент градостроительной деятельности.

**«Строительство очистных сооружений дождевых сточных
вод с селитебной территории Автозаводского района
г. Тольятти с подводящими трубопроводами и
инженерно-техническим обеспечением»**

ПРОЕКТНАЯ ДОКУМЕНТАЦИЯ

**Раздел 4 «Конструктивные и объемно-планировочные решения».
Этап 2. Коллектор.**

Результаты расчёта конструкций КНС

116/21-КР2.РР

Экз.№

Заказчик - Администрация городского округа Тольятти,
Департамент градостроительной деятельности.

**«Строительство очистных сооружений дождевых сточных
вод с селитебной территории Автозаводского района
г. Тольятти с подводящими трубопроводами и
инженерно-техническим обеспечением»**

ПРОЕКТНАЯ ДОКУМЕНТАЦИЯ

**Раздел 4 «Конструктивные и объемно-планировочные решения».
Этап 2. Коллектор.**

Результаты расчёта конструкций КНС

116/21- КР2.РР

Экз.№

Генеральный директор

Логинов С.С.

Главный инженер проекта

Жирнов Д.Ю.

СОДЕРЖАНИЕ

1.	Описание конструктивной схемы здания	3
1.1.	Конструктивная схема здания.....	4
2.	Инженерно-геологические условия площадки	5
3.	Климатическая характеристика	9
4.	Описание расчетной модели	10
4.1.	Определение постоянных и временных нагрузок	13
4.2.	Схемы загружений и расчетные сочетания нагрузок	15
5.	Схемы деформаций каркаса здания.....	19
6.	Расчет фундаментов.....	21
6.1.	Моделирование основания	21
6.2.	Расчеты фундаментной плиты	22
6.3.	Армирование фундаментной плиты	24
6.4.	Расчет фундаментной плиты на продавливание	27
7.	Расчет колонн	28
7.1.	Подбор арматуры в колоннах.....	29
8.	Расчет стен	30
8.1.	Подбор арматуры в стенах подвала.....	31
9.	Расчет перекрытий	33
9.1.	Армирование плит перекрытий	34
9.2.	Расчет на продавливание	37

Изм.	Кол.	№ докум.	Подп.	Дата
Разработал	Прохоров			
Н.контр.	Логинов			
ГИП	Жирнов			

116/21-КР.2_PP

Конструктивные решения

Стадия	Лист	Листов
П	1	37
ООО «Базис»		

Ведомость ссылочных документов

№ п/п	Наименование	Прим.
1	СП 20.13330.2016 «СНиП 2.01.07-85* Нагрузки и воздействия».	
2	СП 22.13330.2016 «Основания зданий и сооружений»	
3	СП 63.13330.2018 «Бетонные и железобетонные конструкции. Основные положения. СНиП 52-01-2003»	

					116/21-КР.2_РР	Лист
Изм.	Кол.	№ докум.	Подп.	Дата		2

1. ОПИСАНИЕ КОНСТРУКТИВНОЙ СХЕМЫ ЗДАНИЯ

В данном разделе представлены расчеты конструкций объекта: «Строительство очистных сооружений дождевых сточных вод с селитебной территории Автозаводского района г. Тольятти с подводящими трубопроводами и инженерно-техническим обеспечением» по адресу: Самарская область, г. Тольятти, Автозаводский район, от пересечения Приморского бульвара и Московского проспекта, далее вдоль Московского проспекта до пересечения с ул. Свердлова, далее – в западном направлении по ул. Свердлова до з/у с кн 63:09:0103035:61».

Район строительства – г. Тольятти;

Снеговой район – IV;

Ветровой район – III;

Уровень ответственности здания – нормальный;

Расчётное значение снеговой нагрузки на горизонтальную проекцию покрытия – 2,0 кПа;

Нормативное значение ветрового давления – 0,38 кПа;

Абсолютная отм. 0,000 – +70,05м (система высот Балтийская);

+61,635 (-8,415) – отметка дна;

					116/21-КР.2_РР	Лист
Изм.	Кол.	№ докум.	Подп.	Дата		3

1.1. Конструктивная схема здания (сооружения).

Канализационная насосная станция сточных дождевых (КНС) вод представляет собой железобетонный монолитный резервуар, с внутренними размерами: длина 30,0 м, ширина 23,0 м и глубина-8,82 м (уровень воды в резервуаре: отключения насосов – 0,925м; рабочий – 3,095м, аварийный – 8,620м). КНС запроектирована из монолитного железобетона класса В25, F₁150, W6 (с добавлением гидроизоляционной добавки), армированного стержнями класса A240, A500 по ГОСТ 34028-2016. Под основание резервуара запроектирована бетонная подготовка, толщиной 100мм, из бетона класса В7.5. Толщина конструкций КНС: фундамент и стены – 400мм, покрытие – 300мм.

Таблица 1.1 - Характеристика материалов конструкций

Наименование элемента конструкции	Серия, ГОСТ	Материал	Примечание
Фундаментная плита	индивид. (монолитные)	бетон В25 W6 F ₁ 150, арматура А500, А240	
Стены	индивид. (монолитные)	бетон В25 W6 F ₁ 150, арматура А500, А240	
Колонны	индивид. (монолитные)	бетон В25 W6 F ₁ 150 арматура А500, А240	
Плита перекрытия	индивид. (монолитные)	бетон В25 W6 F ₁ 150, арматура А500, А240	

Расстояния к центрам тяжести арматуры, принятые в расчётной схеме каркаса здания: Фундаментная плита 68 мм; стены и плиты перекрытий 68мм; колонны 54мм;

					116/21-КР.2_РР	Лист
Изм.	Кол.	№ докум.	Подп.	Дата		4

2. ИНЖЕНЕРНО-ГЕОЛОГИЧЕСКИЕ УСЛОВИЯ ПЛОЩАДКИ

В административном отношении участок изысканий расположен по адресу: г. Тольятти, Автозаводский район, от пересечения Приморского бульвара и Московского проспекта, далее вдоль Московского проспекта до пересечения с ул. Свердлова, далее – в западном направлении по ул. Свердлова до з/у с кн 63:09:0103035:61

Опасных физико-геологических процессов на участке и прилегающей к нему территории не имеется.

Геоморфологически участок работ приурочен к третьей надпойменной террасы р. Волга. Рельеф участка относительно ровный. Абсолютные отметки составляют 67.72-67.13м

Рельеф городской территории определяется нахождением города в Среднем Заволжье (часть Русской равнины). Согласно тектонической схеме Тольятти находится в пределах Ставропольской депрессии, по структурно-тектоническому признаку в соответствии со схемой регионального инженерно-геологического районирования Русской платформы рассматриваемая территория входит в пределы Уральской антеклизы.

В геологическом строении исследуемой площадки на глубину до 5.0-30м принимают участие четвертичные аллювиальные отложениями (aQ_I). С поверхности распространен почвенно-растительный слой (pdQ_{IV}) и насыпной грунт (tQ_{IV})

Слой 1 tQ_{IV} – Насыпной грунт - чернозем, щебень, песок. Совокупная толщина слоя 0.1-1.20м.

Слой 2 pdQ_{IV} – Почвенно-растительный слой. Совокупная толщина слоя 0.3-1.20м.

ИГЭ №1 aQ_I – Суглинок коричневый, полутвердый, с частыми прослойями песка мощностью до 3-х см, непросадочный. Мощность слоя 4.0-18.5м.

ИГЭ №2 aQ_I – Суглинок коричневый, тугопластичный, с прослойками песка мелкого. Мощность слоя 4.0-14.0м.

ИГЭ №3 aQ_I – Песок мелкий коричневый, водонасыщенный, с частыми прослойями суглинка. Мощность слоя 1.0-5.50м.

ИГЭ №4 aQ_I – Суглинок коричневый, мягкотекущий, с линзами песка мелкого. Мощность слоя 1.0-5.50м.

Изм.	Кол.	№ докум.	Подп.	Дата	116/21-КР.2_РР	Лист
						5

Расчетные значения основных показателей физико-механических свойств грунтов, с учетом возможного дополнительного замачивания их, представлены в нижеследующей таблице

Нормативные и расчетные значения показателей физических свойств грунтов

№ИГЭ	Природная влажность, W_0 , %	Плотность, $\text{г}/\text{см}^3$		Плотность грунта ρ , $\text{г}/\text{см}^3$ при доверительной вероятности		Коэффициент пористости e	Коэффициент водонасыщения, S_r	Влажность, % на границе текучести, W_L	Число пластиичности I_p , % на границе раскатывания, W_d	Показатель текучести, l_L
		грунта, ρ	сухого грунта, ρ_d	частиц грунта, ρ_s	0.85					
					0.95					
1	15.2	2.04	1.77	2.72	2.03	2.03	0.54	0.78	27	15
2	19.6	2.0	1.67	2.72	1.98	1.97	0.63	0.84	26	15
3	13.5	1.9	1.69	2.66	1.88	1.87	0.58	0.56	-	-
4	19.6	2.04	1.70	2.71	2.03	2.03	0.59	0.90	23	13
										10
										0.64

Нормативные и расчетные показатели физико-механических свойств грунтов

№ИГЭ	Наименование грунта	Плотность грунта ρ , $\text{г}/\text{см}^3$			Удельное сцепление, кПа			Угол внутреннего трения, градус			Модуль деформации Еест/Евод. МПа
		ρ_n	ρ_{II}	ρ_I	C_n	C_{II}	C_I	φ_n	φ_{II}	φ_I	
1	суглинок полутвердый, непросадочный.	2.04	2.03	2.03	34	33	32	22	21	21	16 14
2	суглинок тугопластичный;	2.0	1.98	1.97	28	27	26	19	18	18	13
3	песок мелкий;	1.9	1.88	1.87	2	2	1.3	32	32	27	27
4	суглинок мягкопластичный.	2.04	2.03	2.03	21	20	20	19	18	18	10

По результатам гидрогеологических наблюдений на момент изысканий (январь-март 2022г.) уровень грунтовых вод в районе скважин №20-22 зафиксирован на глубине 20.0м (на абс. отметках 49.34-49.71м БС).

Водовмещающими породами являются суглиники с коэффициентом фильтрации от 0.05 до 0.1 м/сут. (14, табл. 71).

Участок является неподтопленным тип III-Б1 (СП 11-105-97, ч. II, приложение И).

Однако, возможно формирование, в верхней части разреза, локальных линз временного техногенного водоносного горизонта типа «верховодка» с замачиванием грунтов и ухудшением их физико-механических свойств за счет аварийных утечек из водонесущих коммуникаций.

В качестве естественного основания фундаментов любого типа и активной зоны может служить грунт ИГЭ № 1-4.

При строительстве проектируемого сооружения почва подлежит прорезке фундаментом на всю мощность, во избежание развития больших неравномерных осадок.

По данным лабораторных исследований грунты являются неагрессивными по отношению к бетонам всех марок и к арматуре в

						116/21-КР.2_РР	Лист
Иzm.	Кол.	№ докум.	Подп.	Дата			
							6

железобетонных конструкциях.

В случае промерзания в морозный период (например, в открытом котловане или траншее), грунт ИГЭ № 1 является слабопчинистым.

При проектировании фундаментов на пучинистых грунтах надлежит предусмотреть надежный отвод подземных, атмосферных и производственных вод с площадки.

Как правило, не допускается промораживание грунта ниже подошвы фундамента каменных зданий и сооружений и фундаментов как во время строительства, так и в период эксплуатации.

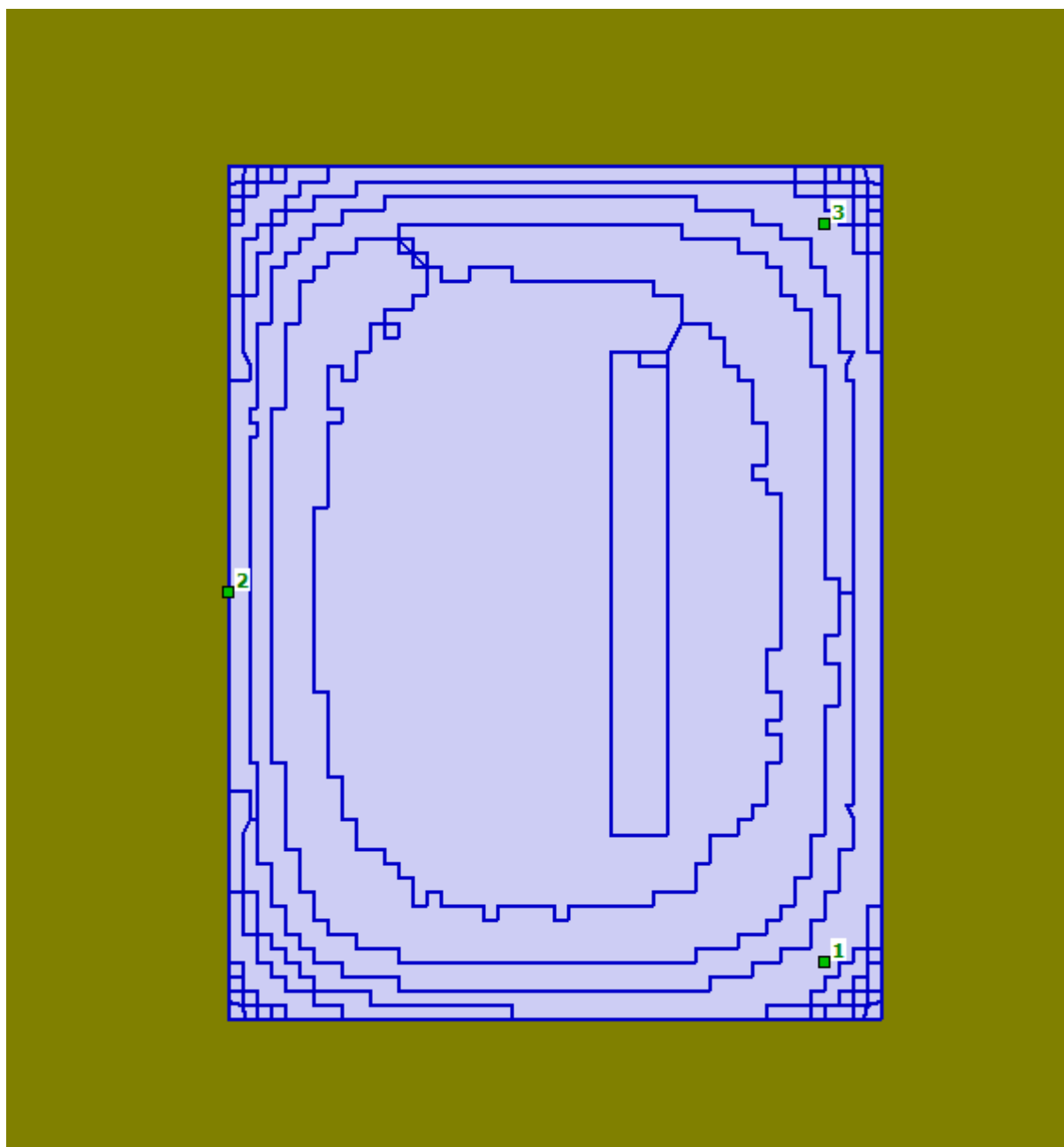
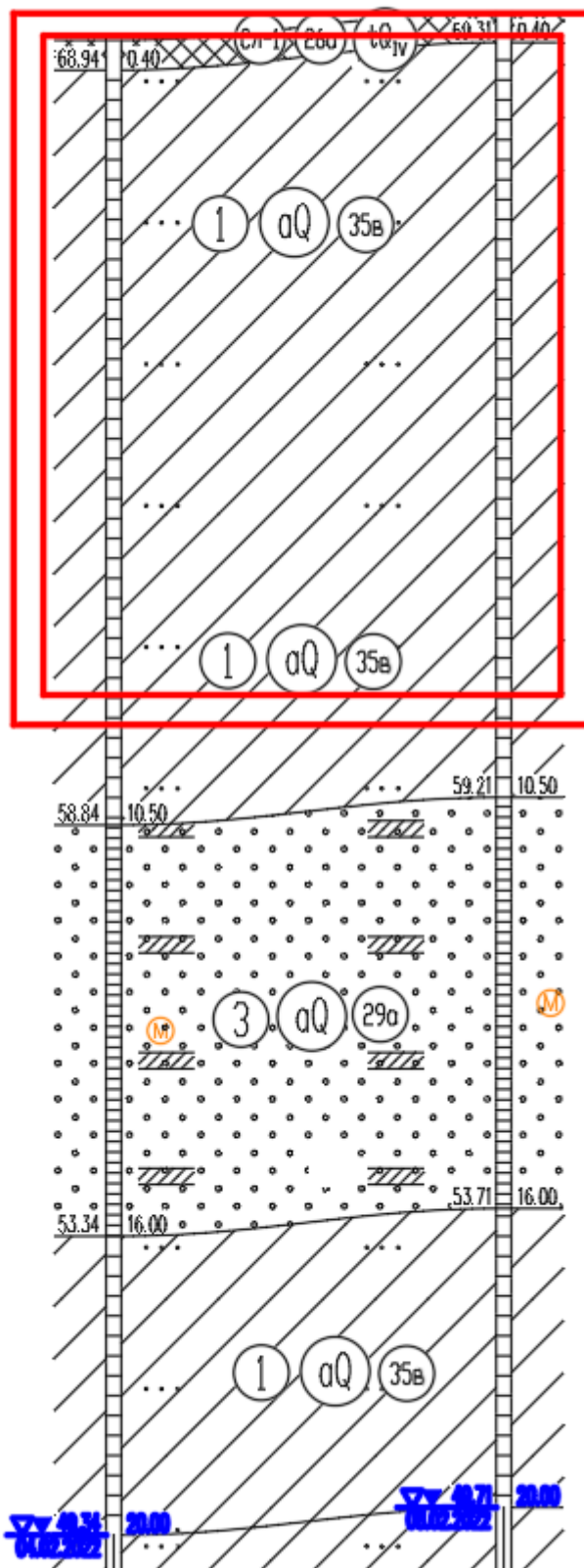


Рис. 2.1. Схема расположения грунта под подошвой фундамента (отм. +61,235 (-8,815) – отметка подошвы фундамента) в системе ГРУНТ

Иzm.	Кол.	№ докум.	Подп.	Дата	116/21-КР.2_РР	Лист
						7

71.0
70.0
69.0
68.0
67.0
66.0
65.0
64.0
63.0
62.0
61.0
60.0
59.0
58.0
57.0
56.0
55.0
54.0
53.0
52.0
51.0
50.0
49.0

Геолого-литологический разрез
по линии III-III



Изм.	Кол.	№ докум.	Подп.	Дата	Лист
					116/21-КР.2_РР

3. КЛИМАТИЧЕСКАЯ ХАРАКТЕРИСТИКА

Описываемый район находится в зоне умеренно-континентального климата.

Среднегодовая температура воздуха составляет 5,3°C. Данные о характерных температурах воздуха представлены в таблице 3.1.

Таблица 3.1 – Характерные температуры воздуха °C

Показатели	Месяцы													Год
	I	II	III	IV	V	VI	VII	VIII	IX	X	XI	XII		
Среднемесячная и годовая температура*	-10,9	-10,5	-4,1	6,6	14,7	19,0	20,9	19,1	13,2	5,6	-1,9	-7,7		5,3
Абсолютная максимальная температура**	5	7	16	31	33	37	41	38	33	26	14	8		41
Средний из абсолютных максимумов температуры**	0,9	1	7	22	29	32	33	32	27	18	8	3		34
Абсолютная минимальная температура**	-44	-41	-33	-24	-6	-1	4	0,3	-6	-17	-29	-42		-44
Средний из абсолютных минимумов температуры**	-30	-30	-22	-9	-1	3	8	5	-0,3	-8	-17	-26		-34

Нормативная глубина сезонного промерзания грунтов в рассматриваемом районе согласно СП 22.13330.2016 равна для суглинков и глин – 1,36 м, для супесей, песков мелких и пылеватых – 1,66 м, для песков гравелистых, крупных и средней крупности – 1,78 м, для крупнообломочных грунтов – 2,02 м.

Согласно СП 20.13330.2016 исследуемая территория по весу снегового покрова относится к IV району $S_0 = 2,0$ кПа, по давлению ветра относится к III району $\omega_0 = 0,38$ кПа, по толщине стенки гололеда к III району $b = 10$ мм.

Согласно СП 131.13330.2012 по климатическому районированию для строительства территория относится к II-В.

4. ОПИСАНИЕ РАСЧЕТНОЙ МОДЕЛИ

Расчет конструкций выполнен в ПК ЛИРА-САПР. Геометрическое моделирование выполнено на основе чертежей АР, КР. Габариты и размеры поперечных сечений несущих элементов приняты в соответствии с представленной электронной версией чертежей. Идеализация геометрического образа заключалась в выделении основных элементов несущей системы здания, минимальном упрощении их формы и способов сопряжения.

Разработчик ПК 1300.03

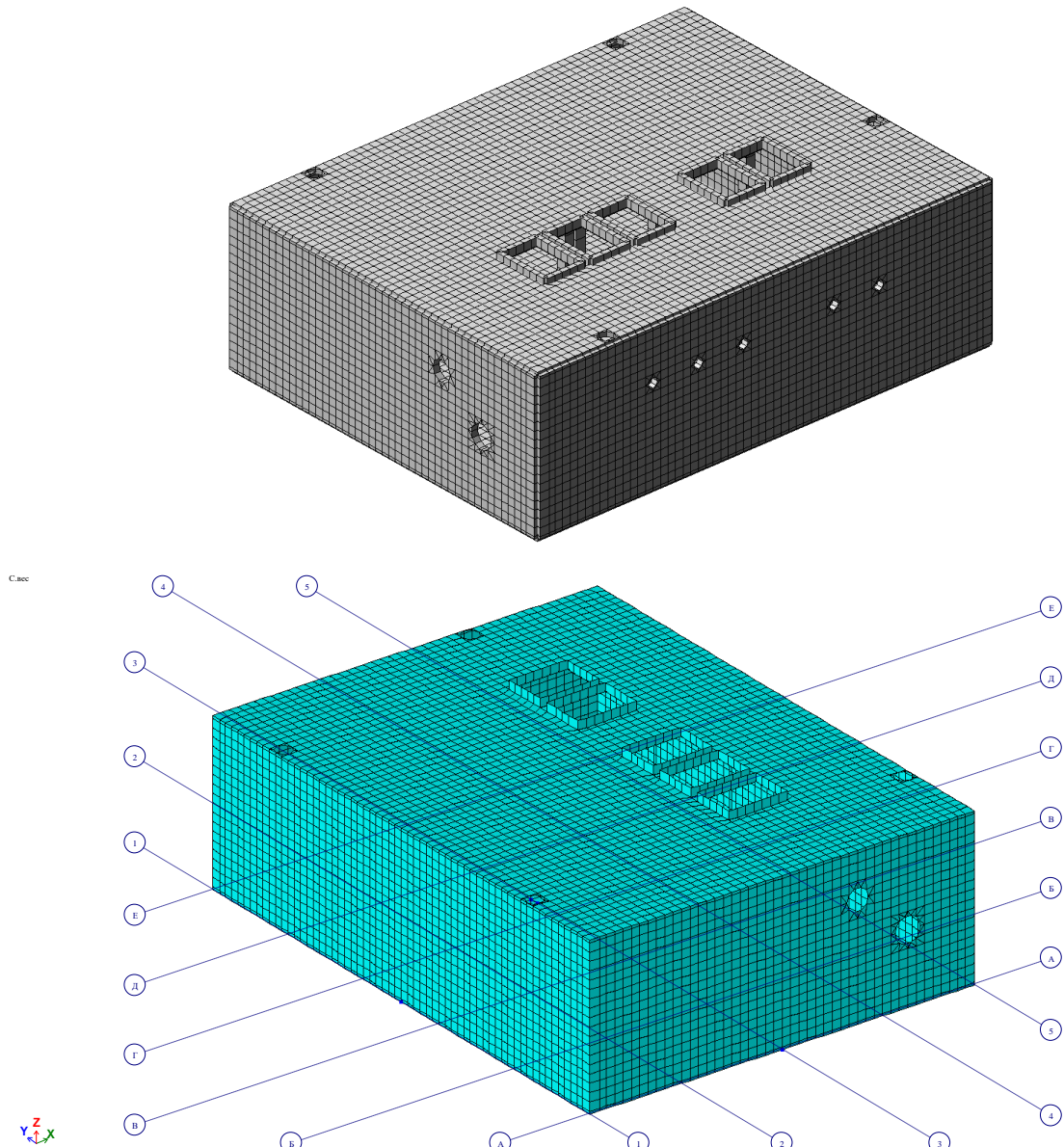


Рис. 4.1. Общий вид расчетной модели

Жесткостные характеристики элементов конструкций и их соединений вычисляются программой в соответствии с их геометрическими параметрами и физическими характеристиками материалов, с учётом условий работы конструкций, вводимых в расчётную модель. Сопряжение всех элементов задано жёстким. Расчет конструкций производился по пространственной схеме с учетом работы плитного фундамента на естественном основании.

Согласно СП 63.13330.2012, значение начального модуля упругости бетона при сжатии и растяжении принимают в зависимости от класса бетона по прочности на сжатие. Материал монолитных конструкций - бетон класса В25, $E_b=3.06 \cdot 10^6$ т/м² (пониженное

						Лист
Изм.	Кол.	№ докум.	Подп.	Дата	116/21-КР.2_РР	10

значение $E=1.836 \cdot 10^6$ т/м² – для вертикальных сжатых несущих элементов, $E=874000$ т/м² – для несущих горизонтальных элементов). Коэффициент Пуассона $\nu=0,2$. Плотность монолитного железобетона 2,5 т/м³;

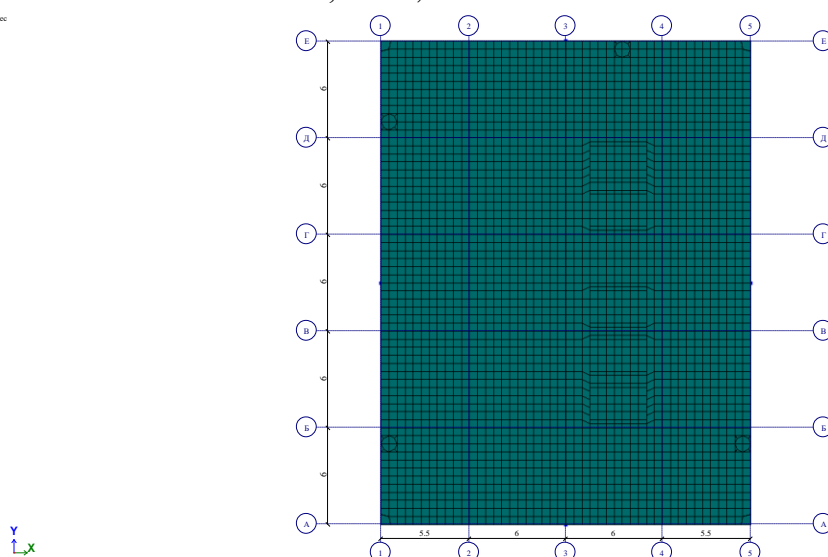


Рис. 4.2. Вид сверху расчетной модели

Сооружение (резервуар) выполнено монолитным железобетонным с монолитной фундаментной плитой, монолитными стенами, монолитными перекрытиями и колоннами;

Материал монолитных конструкций – Бетон класса B25;

Материал армирования монолитных конструкций - арматура класса А500;

Величина раскрытия трещин (согласно таблице Ж.4 СП 28.13330) при продолжительном действии нагрузки – 0,15мм, при непродолжительном действии нагрузки – 0,2мм;

Таблица I. Степень агрессивности сточных вод на различных этапах биологической очистки

Сооружение	Оценка сульфатной агрессивности по СНиП 2.03.11-85		Агрессивность, определяемая микробиологическим фактором				
	показатель, мг/л 2- SD_4 менее	степень агрессивности HCO_3	рН среды	содержание, мг/л			степень агрессивности
				свободный CO_2 , не более	NH_4 , не более	биомасса	
Песколовка	1000	450-500	Слабоагрессивная	8-8,5	5	50	100
Отстойник	1000	450-500	Слабоагрессивная	7,5-8,5	30	40	500
Аэротенк	900	450-500	Слабоагрессивная	7-7,5	50	40	2000
Метантенк	100	1500-2000	Не агрессивная	6,7-7,3	850	250 до 3000	Среднеагрессивная

* По отношению к бетону с маркой по водонепроницаемости W 4 на обычном портландцементе;

** С учетом наличия большого количества биомассы, как источника CO_2 при микробиологическом разложении органической составляющей.

Сечение колонн - 600x600мм;

Толщина плиты перекрытия -300мм, толщина фундаментной плиты - 400мм;

Толщина наружных стен - 400мм;

Расчет выполнен по п. 11.1.10 СП 32.13330, (Расчет конструкций канализационных емкостных сооружений следует выполнять согласно СП 31.13330), согласно требованиям п.15.28-15.31 СП 31.13330.

Расчет усилий в элементах и подбор армирования произведен в ПК ЛИРА-САПР 2020.

Армирование подбиралось на основе РСН.

						Лист
Изм.	Кол.	№ докум.	Подп.	Дата	116/21-КР.2_РР	11

Номер таблицы РСУ	1	<input type="button" value=""/>	<input checked="" type="checkbox"/>	<input type="checkbox"/>							
Имя таблицы РСУ	СП_1										
Строительные нормы	СП 20.13330.2011/2016										
Номер загружения											
Вид загружения	<input type="button" value=""/> По умолчанию										
N группы объединяемых временных загружений											
Учитывать знакопеременность	<input type="checkbox"/>										
N группы взаимоисключающих загружений											
NN сопутствующих загружений											
Коэффициент надежности											
Доля длительности											
Не учитывать для II-го пред. сост.	<input type="checkbox"/>										
Ограничения для кранов и тормозов											
Кран	<input type="checkbox"/>	Тормоз	<input type="checkbox"/>								
Коэффициенты для РСУ											
#	1 основ.	2 основ.	Особ.(С)	Особ.(б С)	5 сочет.	6 сочет.	7 сочет.	8 сочет.	9 сочет.	10 сочет.	
1	1.00	1.00	0.90	1.00	0.00	0.00	0.00	0.00	0.00		
2	1.00	1.00	0.90	1.00	0.00	0.00	0.00	0.00	0.00		
3	1.00	1.00	0.80	1.00	0.00	0.00	0.00	0.00	0.00		
4	1.00	1.00	0.80	1.00	0.00	0.00	0.00	0.00	0.00		
5	1.00	1.00	0.80	1.00	0.00	0.00	0.00	0.00	0.00		
6	1.00	1.00	0.50	0.80	0.00	0.00	0.00	0.00	0.00		
7	1.00	1.00	0.50	0.80	0.00	0.00	0.00	0.00	0.00		
8	1.00	1.00	0.50	0.80	0.00	0.00	0.00	0.00	0.00		
< >											

Сводная таблица для вычисления РСУ:

№.	Имя загружения	Вид	Параметры РСУ						Коэффициенты РСУ					
1	С.вес	Постоянное(0)	0	0	0	0	0	0	1.10	1.00	1.00	1.00	0.90	1.00
2	Давление грунта и засыпка	Постоянное(0)	0	0	0	0	0	0	1.20	1.00	1.00	1.00	0.90	1.00
3	Мин ур воды	Длительное (1)	1	0	1	0	0	0	1.00	1.00	1.00	1.00	0.80	1.00
4	Раб ур воды	Длительное (1)	1	0	1	0	0	0	1.00	1.00	1.00	1.00	0.80	1.00
5	Авар ур воды	Длительное (1)	1	0	1	0	0	0	1.00	1.00	1.00	1.00	0.80	1.00
6	Гидроиспытание	Кратковременное(2)	2	0	1	0	0	0	1.00	0.35	1.00	1.00	0.50	0.80
7	Снег	Кратковременное(2)	2	0	2	0	0	0	1.40	0.50	1.00	1.00	0.50	0.80
8	Полезная на перекрытие	Кратковременное(2)	2	0	2	0	0	0	1.30	0.35	1.00	1.00	0.50	0.80

Номер таблицы РСН	1	<input type="button" value=""/>	<input type="button" value=""/>	<input type="button" value=""/>	<input type="button" value=""/>	<input type="button" value=""/>	<input type="button" value=""/>	Имя таблицы РСН	СП 20.13330.2016_1										
СП 20.13330.2011/2016	<input type="checkbox"/>	Коф. надежности по ответственности																	
Динамика по модулю	<input type="checkbox"/>	для I-го ПС	<input type="checkbox"/>	для II-го ПС	<input type="checkbox"/>	для особых сочетаний	<input type="checkbox"/>	Не учитывать сейсмiku для II-го ПС											
Определяющие РСН	<input type="checkbox"/>								Не учитывать особое загруж. для II-го ПС										
N загруж.	Наименование	Вид	Знакоперем.	Взаимосил.	Коф. надежн.	Доля длительн.	1.PCH1	2.PCH2	3.PCH3	4.PCH4	5.PCH5	6.PCH6	7.PCH7	8.PCH8	9.PCH9	10.PCH10	11.PCH11	12.PCH12	13.PCH13
1	С.вес	Постоянное (P)	+		1.1	1.0	0.909	0.909	0.909	1.	1.	1.	1.	1.	1.	1.	1.	1.	0.909
2	Давление грунта и засыпка	Постоянное (P)	+		1.2	1.0	0.833	0.833	0.833	1.	1.	1.	1.	1.	1.	1.	1.	1.	0.
3	Мин ур воды	Длит. доминир.1 (P1)	+	1	1.0	1.0	1.	0.	0.	1.	0.	0.	0.	1.	0.	0.	1.	0.	0.
4	Раб ур воды	Длит. доминир.1 (P1)	+	1	1.0	1.0	0.	1.	0.	0.	1.	0.	0.	1.	0.	0.	1.	0.	0.
5	Авар ур воды	Длит. доминир.1 (P1)	+	1	1.0	1.0	0.	0.	1.	0.	0.	1.	0.	0.	1.	0.	0.	1.	0.
6	Гидроиспытание	Кратк. доминир.1 (Pt1)	+	1	1.0	0.35	0.	0.	0.	0.	0.	0.	0.	0.	0.	0.	0.	0.	1.
7	Снег	Кратк. доминир.1 (Pt1)	+	2	1.4	0.5	0.715	0.715	0.715	0.	0.	0.	0.	1.	1.	1.	0.	0.	0.
8	Полезная на перекрытие	Кратк. доминир.1 (Pt1)	+	2	1.3	0.35	0.	0.	0.	0.	0.	0.	0.	0.	0.	0.	1.	1.	0.

Основное сочетание Особое сочетание

$$P^d + \psi_{I1} P_{I1}^d + \sum_{i=2}^{n_l} \psi_{II_i} P_{II_i}^d + \psi_{t1} P_{t1}^d + \psi_{t2} P_{t2}^d + \sum_{j=3}^{n_t} \psi_{tj} P_{tj}^d$$

Коэффициенты

Согласно требованиям п.15.28 СП 31.13330 основные сочетания РСН9, РСН13 (гидроиспытание) – 1ПС. РСН3 – 2ПС.

					116/21-КР.2_PP								Лист
Изм.	Кол.	№ докум.	Подп.	Дата									12

4.1. Определение постоянных и временных нагрузок

Таблица 4.1. Нагрузки

Нагрузки	Нормативное значение	γ_f	Расчетное значение	Ед. изм.
I. Постоянные нагрузки				
1. Собственный вес несущих конструкций – принимается исходя из плотности материалов конструкций: - для железобетона 2,5 тс/м ³ - для стали 7,85 тс/м ³	2.50 7.85	1.1 1.05	2.75 8.24	тс/м ³ тс/м ³
II. Временные нагрузки				
1. Полезные нагрузки	0.3	1.3	0.39	тс/м ²
2. Снеговые нагрузки	0.2	1.4	0.28	тс/м ²

Нагрузки от давления воды внутри резервуара

Нагрузка от минимального уровня воды $1,0*1,0*1,0=1,0\text{т/м}^2$

Нагрузка от рабочего уровня воды $1,0*3,0*1,0=3,0\text{т/м}^2$

Нагрузка от аварийного уровня воды $1,0*9,0*1,0=9,0\text{т/м}^2$

Давление от грунта обратной засыпки

В соответствии с разделом 5 «Руководство по проектированию подпорных стен подвалов и стен подвалов для промышленного и гражданского строительства»:

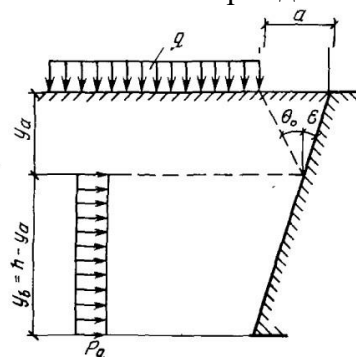


Рис. 4.1 Схема к определению активного давления грунта.

При $\epsilon=0$, коэффициент горизонтальной составляющей активного давления грунта λ равен:

$$\lambda = \operatorname{tg}^2 \left(45^\circ - \frac{\phi}{2} \right)$$

Тогда горизонтальная составляющая активного давления несвязного грунта будет определяться на глубине H:

$$\sigma_r = \gamma_f \gamma' H \lambda$$

					Лист
Изм.	Кол.	№ докум.	Подп.	Дата	116/21-КР.2_РР
					13

При расчете учитывается временная вертикальная нормативная нагрузка на поверхности грунта. Для удобства расчета временную нормативную нагрузку на поверхности грунта заменяют добавочным эквивалентным слоем грунта высотой H_{red} :

$$H_{red} = \frac{q}{\gamma'_I}$$

Тогда эпюра горизонтальной составляющей грунта на стены подвала представляет собой трапецию с верхней и нижней ординатами q_1 и q_2 :

$$q_1 = \gamma_f \gamma'_I H_{red} \lambda$$

$$q_2 = \gamma_f \gamma'_I (H_{red} + H) \lambda.$$

Согласно геологическим изысканиям, уровень грунтовых вод ниже отметки верх фундаментной плиты. Добавочное горизонтальное давление грунтовых вод в расчете не учитываем.

Значения характеристик грунтов засыпки устанавливаются по характеристикам тех же грунтов ненарушенного сложения и определяются как:

$$\gamma'_I = 0,95 \gamma_I; \quad \varphi'_I = 0,9 \varphi_I; \quad c'_I = 0,5 c_I$$

Обратная засыпка выполняется песком крупной и средней фракции со следующими характеристиками: $\varphi = 27^\circ$, $c = 0 \text{ т}/\text{м}^2$, $\gamma = 1,70 \text{ т}/\text{м}^3$.

Тогда характеристики грунтов нарушенного сложения:

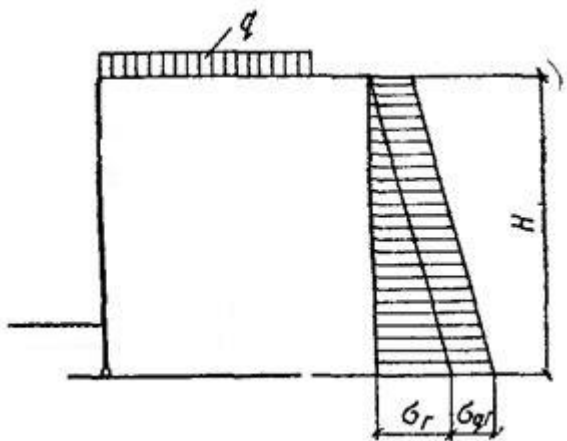
$$\varphi' = 0,9 \cdot 27 = 25^\circ; \quad c' = 0 \text{ т}/\text{м}^2; \quad \gamma' = 1,70 \cdot 0,95 = 1,6 \text{ т}/\text{м}^3.$$

$$\text{Тогда } \lambda = \operatorname{tg}^2 \left(45 - \frac{25,0}{2} \right) = 0,4 \text{ и } H_{red} = \frac{1}{1,6} = 0,625,$$

следовательно:

$$q_1 = \gamma_f \gamma'_I H_{red} \lambda = 1,3 \cdot 1,6 \cdot 0,625 \cdot 0,4 \approx 0,52 \text{ т}/\text{м}^2$$

$$q_2 = \gamma_f \gamma'_I (H_{red} + H) \lambda = 1,2 \cdot 1,6 \cdot 0,925 \cdot 0,4 \approx 7,63 \text{ т}/\text{м}^2.$$



						Лист
Изм.	Кол.	№ докум.	Подп.	Дата		116/21-КР.2_РР
						14

4.2. Схемы загружений и расчетные сочетания нагрузок

В данном разделе приведены схемы приложения нагрузок к расчетной модели здания.

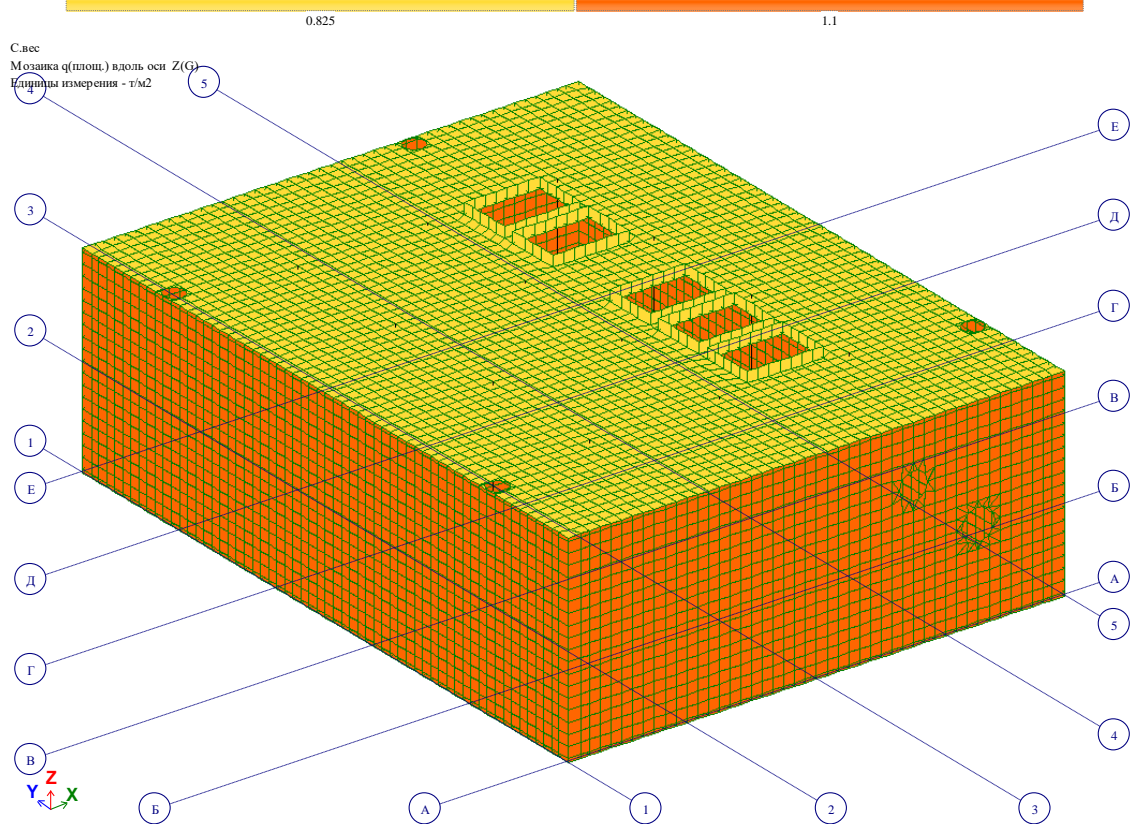


Рис. 4.4.1. Нагрузка от собственного веса конструкций.

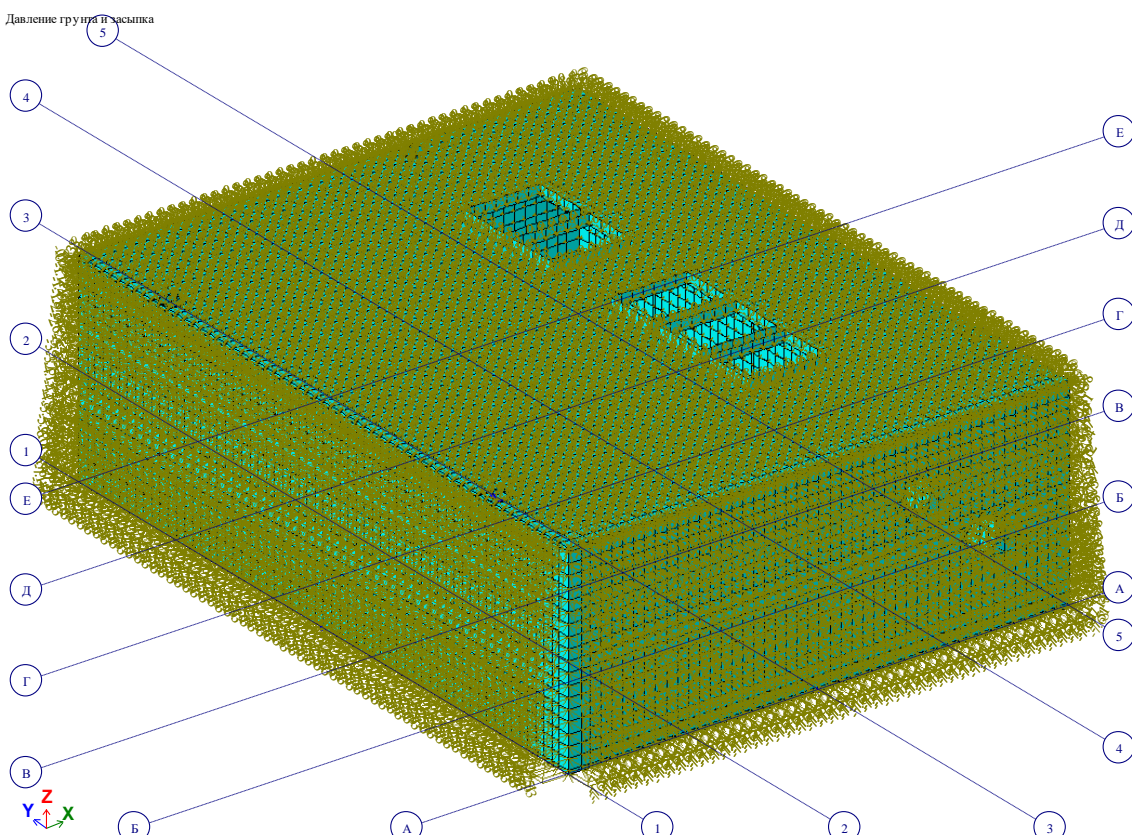


Рис. 4.4.2. Нагрузки от бокового давления грунта и засыпки.

Изм.	Кол.	№ докум.	Подп.	Дата	116/21-КР.2_РР	Лист
						15

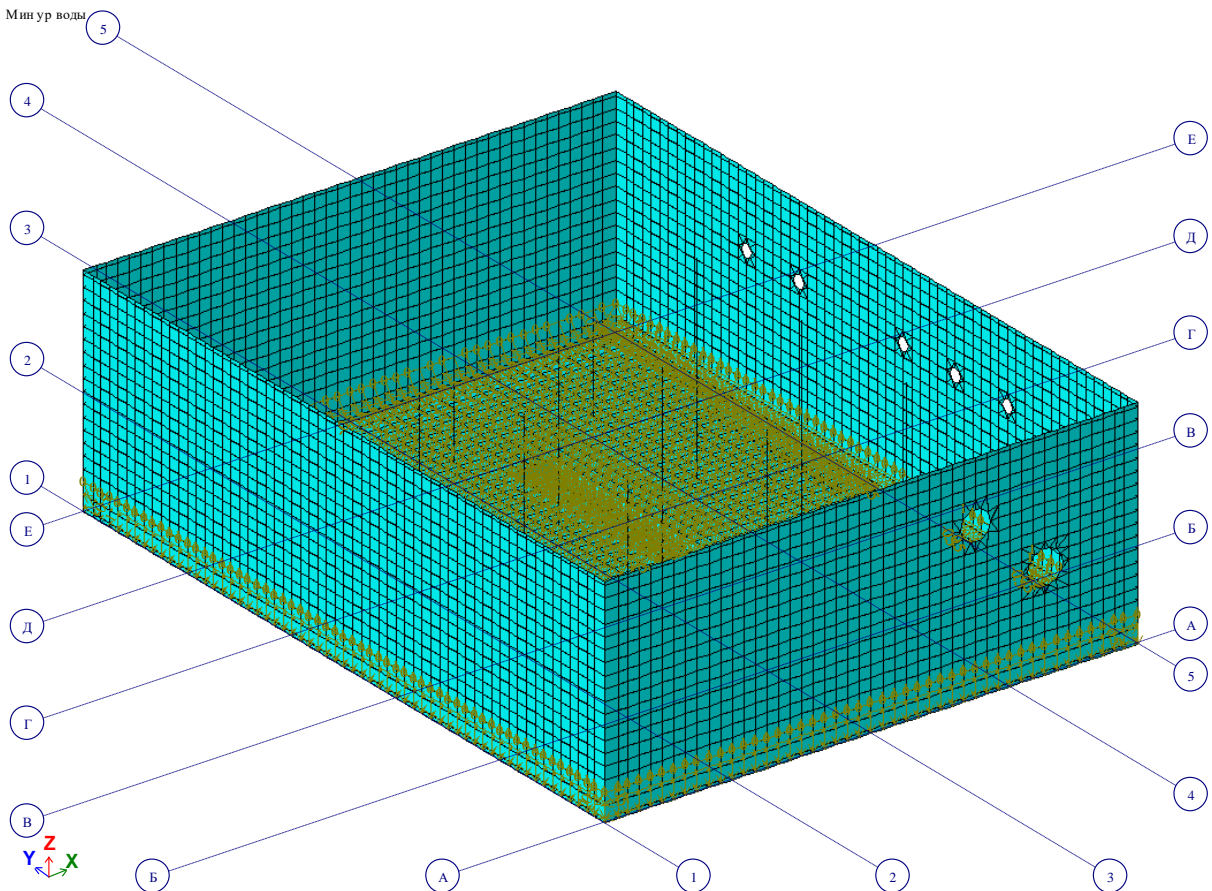


Рис. 4.4.3. Нагрузки от минимального уровня воды.

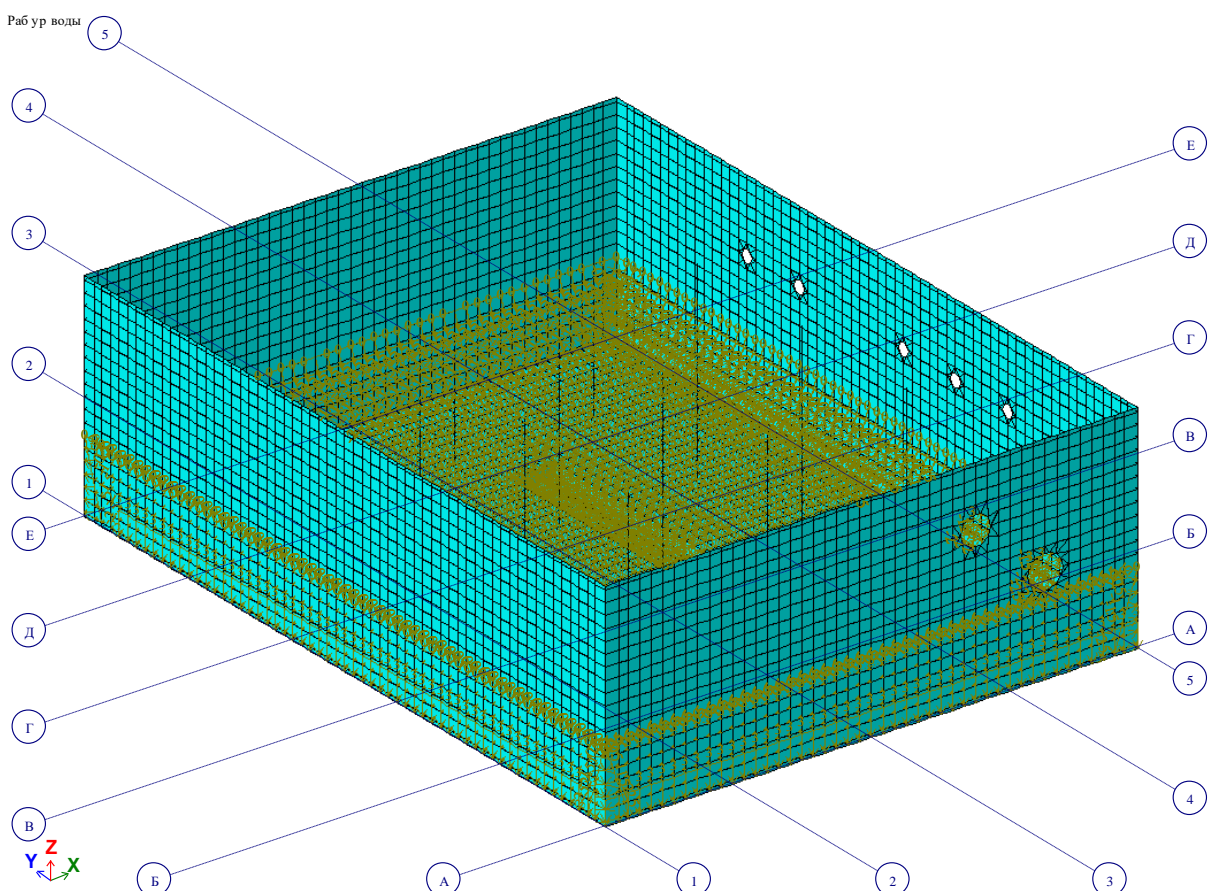


Рис. 4.4.4. Нагрузки от рабочего уровня воды.

Изм.	Кол.	№ докум.	Подп.	Дата	Лист 116/21-КР.2_РР

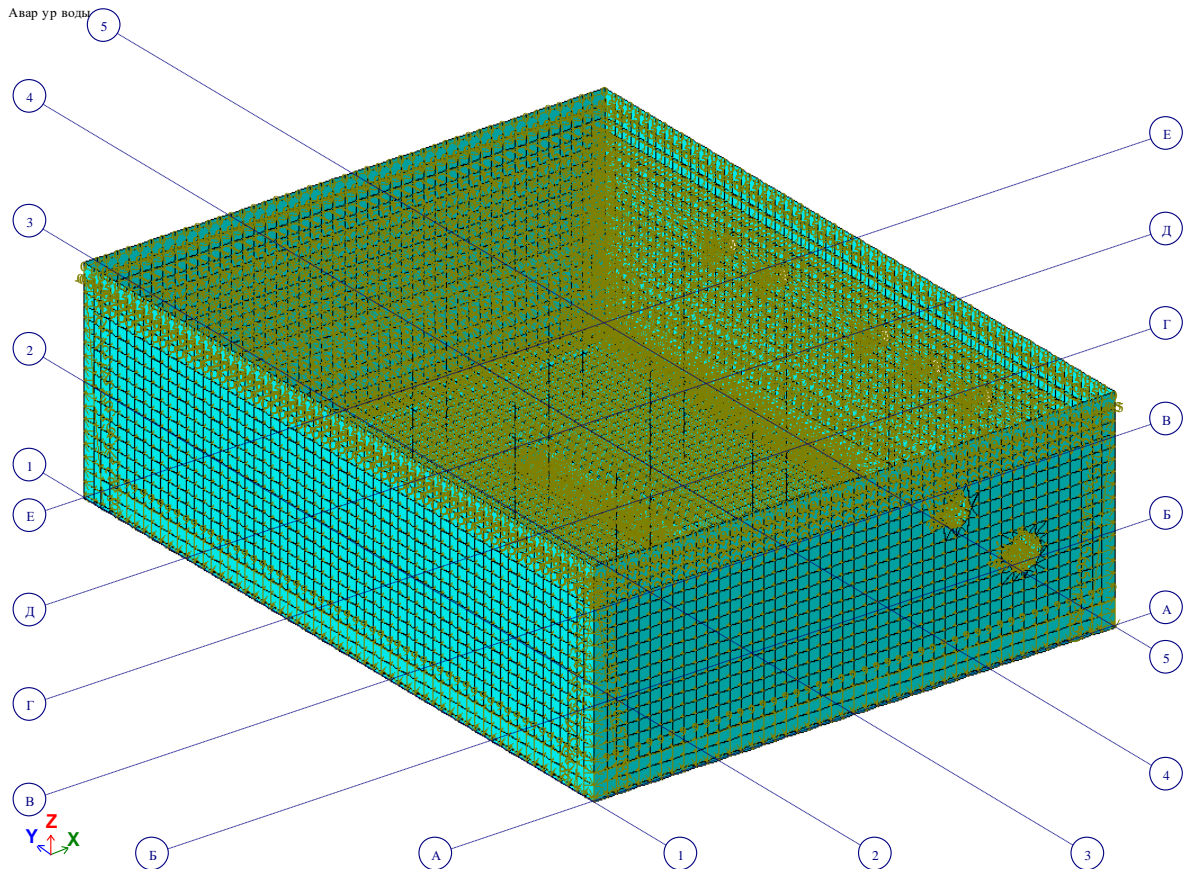
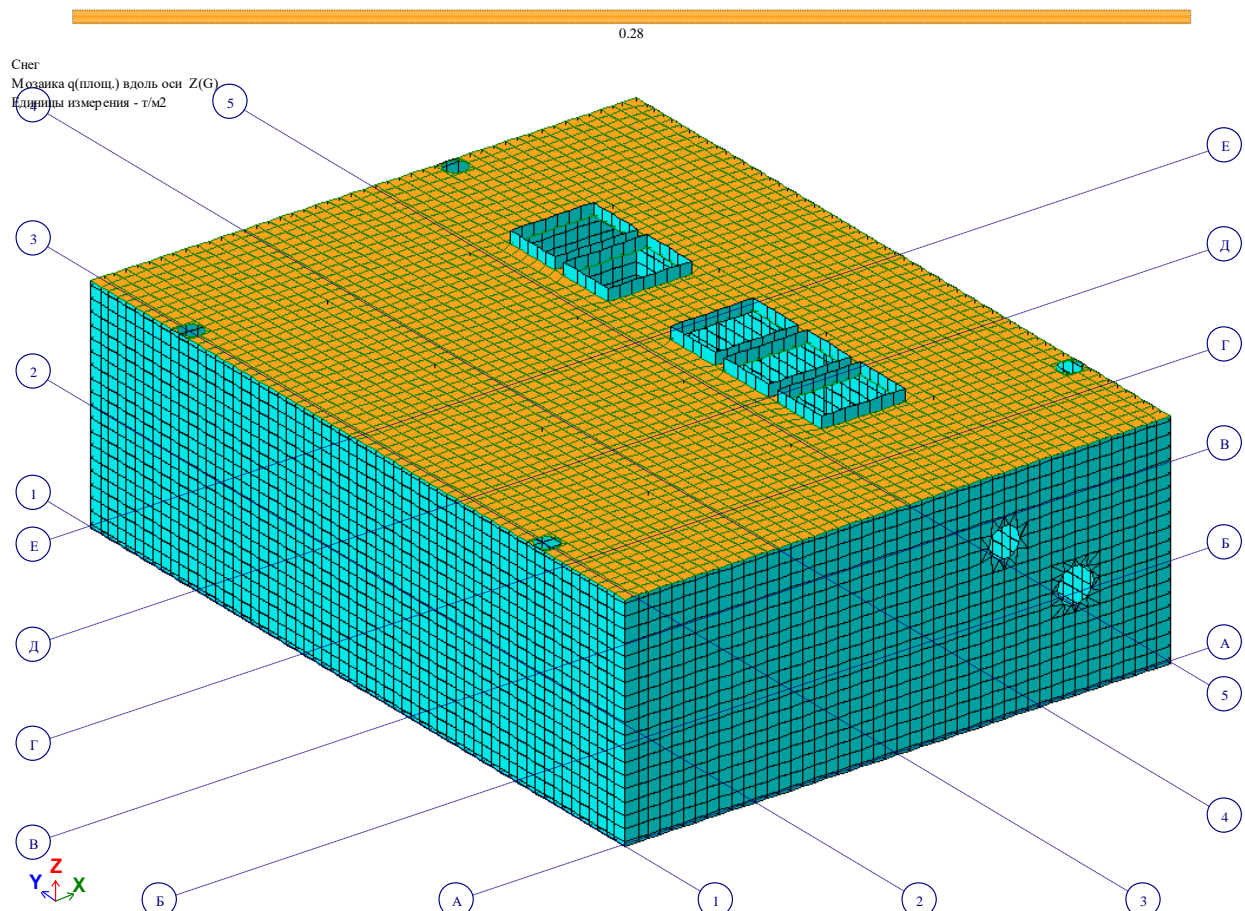
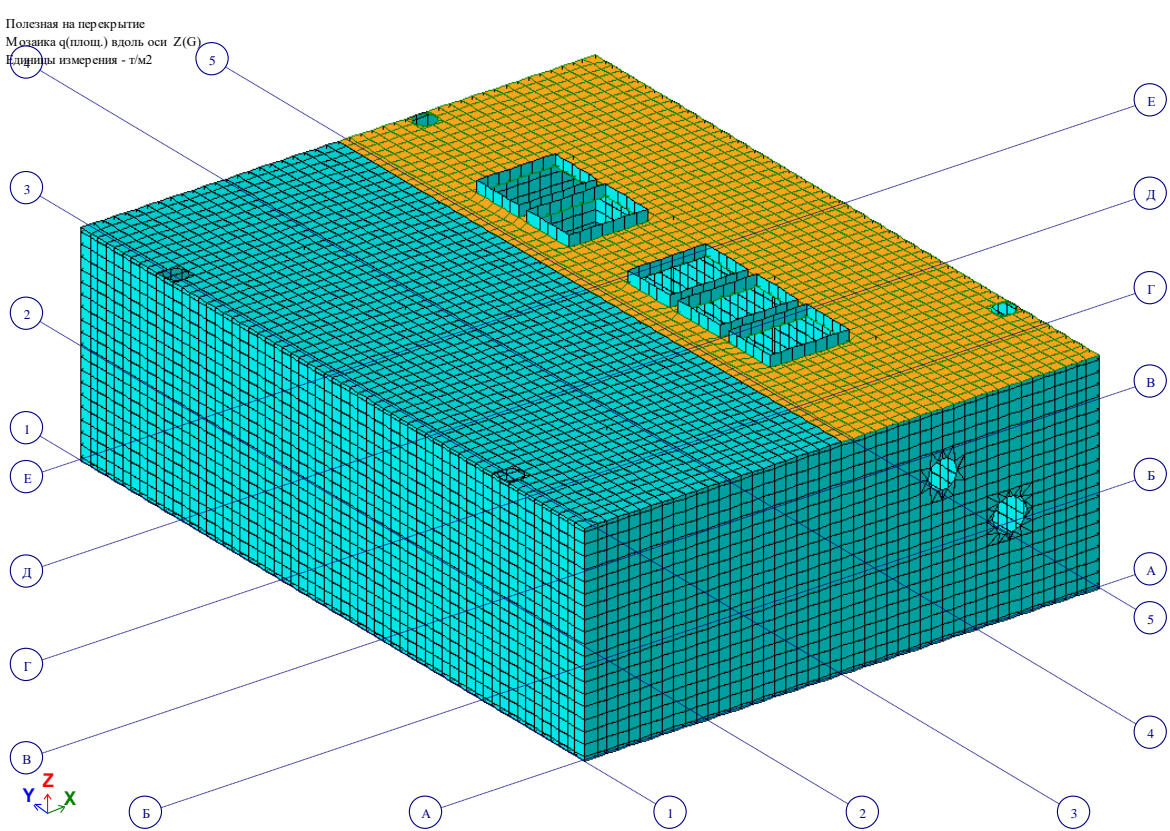


Рис. 4.4.5. Нагрузки от аварийного (максимального) уровня воды.



4.4.6. Нагрузка от снега.

Изм.	Кол.	№ докум.	Подп.	Дата	116/21-КР.2_РР	Лист
						17



4.4.7. Гипотетическая (технологическая) нагрузка на покрытие.

					116/21-KР.2_РР	Лист
Изм.	Кол.	№ докум.	Подп.	Дата		18

5. СХЕМЫ ДЕФОРМАЦИЙ КАРКАСА ЗДАНИЯ

Схемы деформаций представленные ниже получены при пониженных значениях модуля деформации бетона.

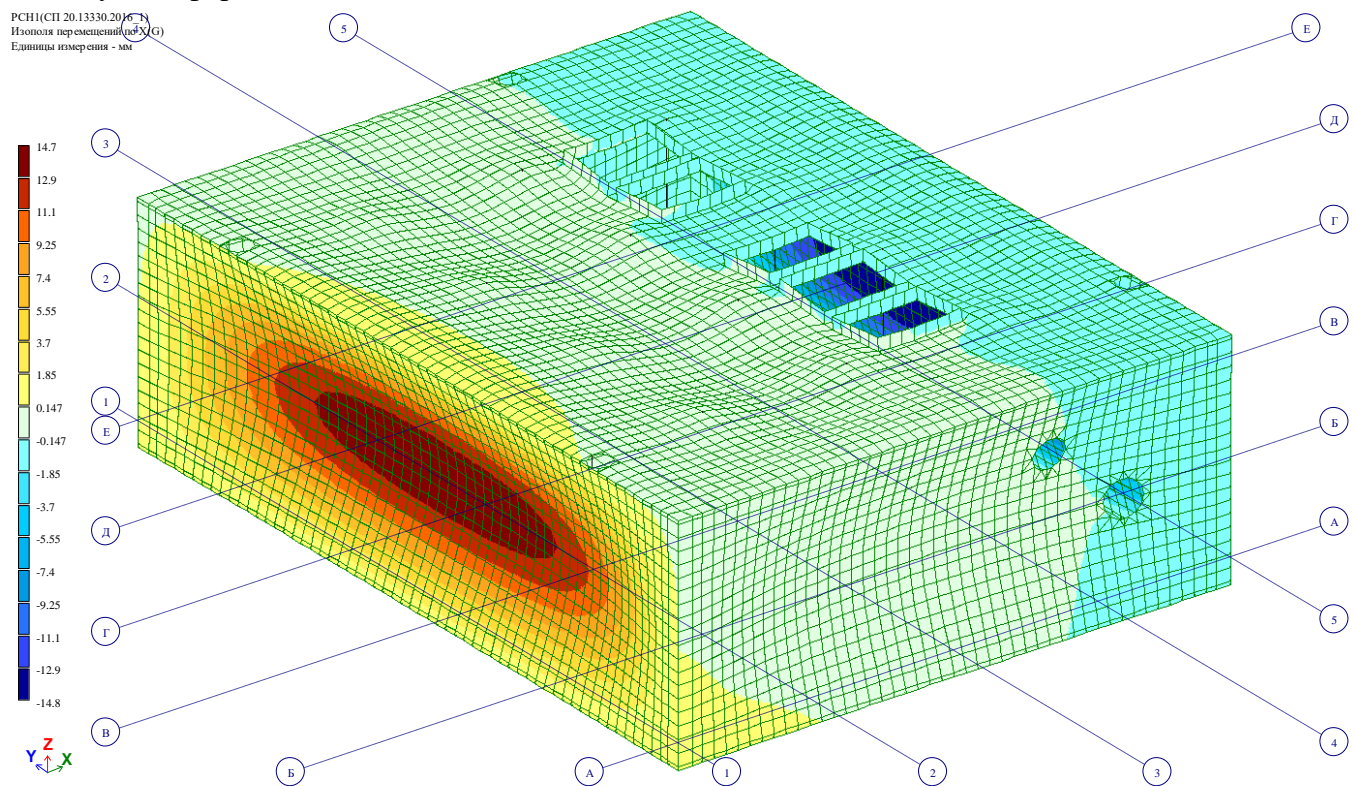


Рис. 5.1. Изополя перемещений по оси Х по РСН при отсутствии воды.

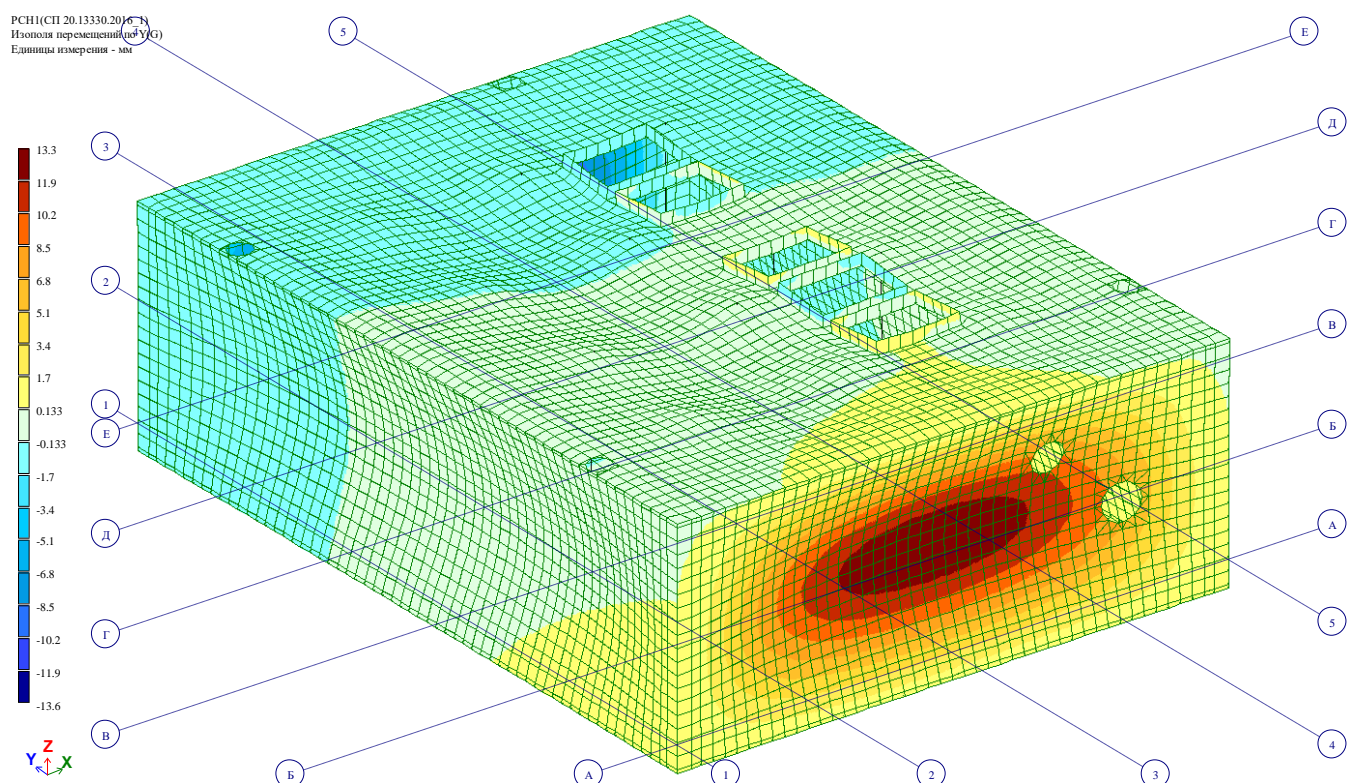


Рис. 5.2. Изополя перемещений по оси У при отсутствии воды.

Иzm.	Кол.	№ докум.	Подп.	Дата	116/21-КР.2_PP	Лист
						19

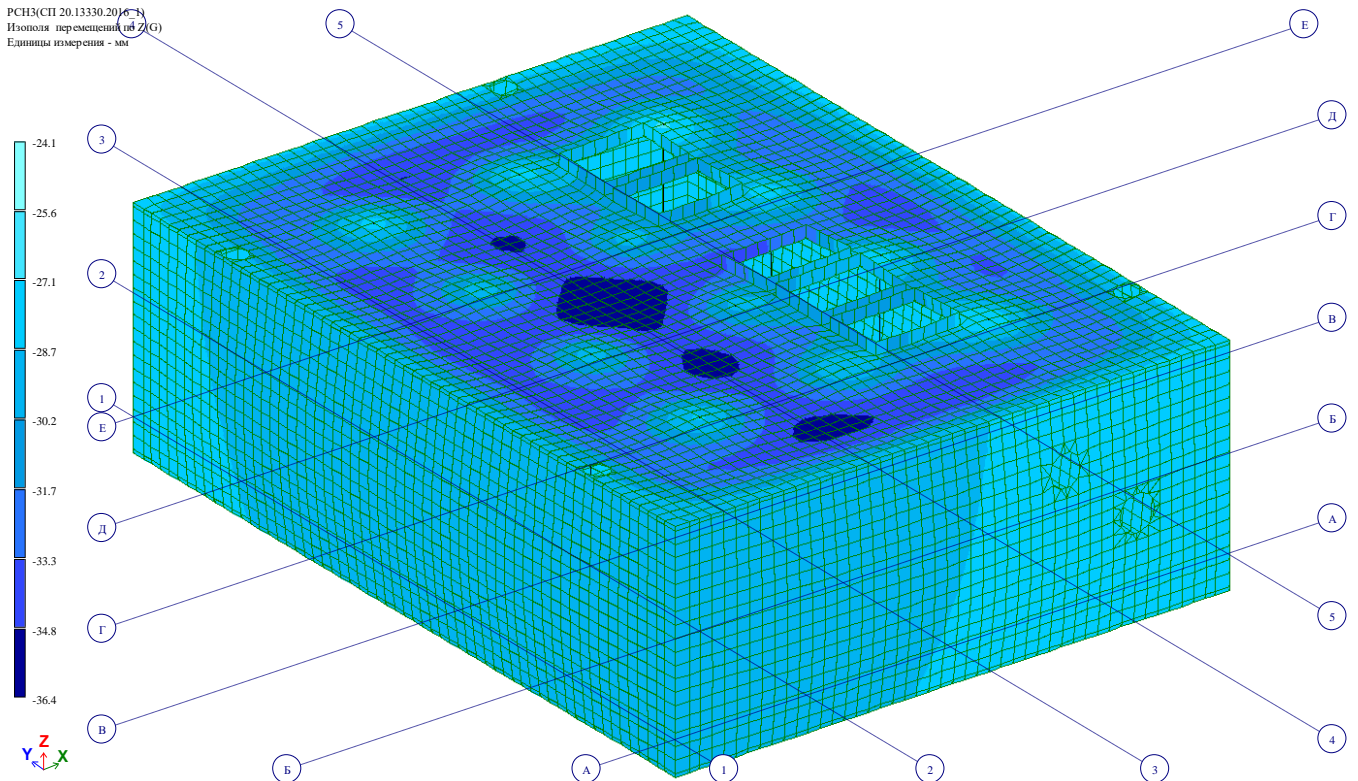
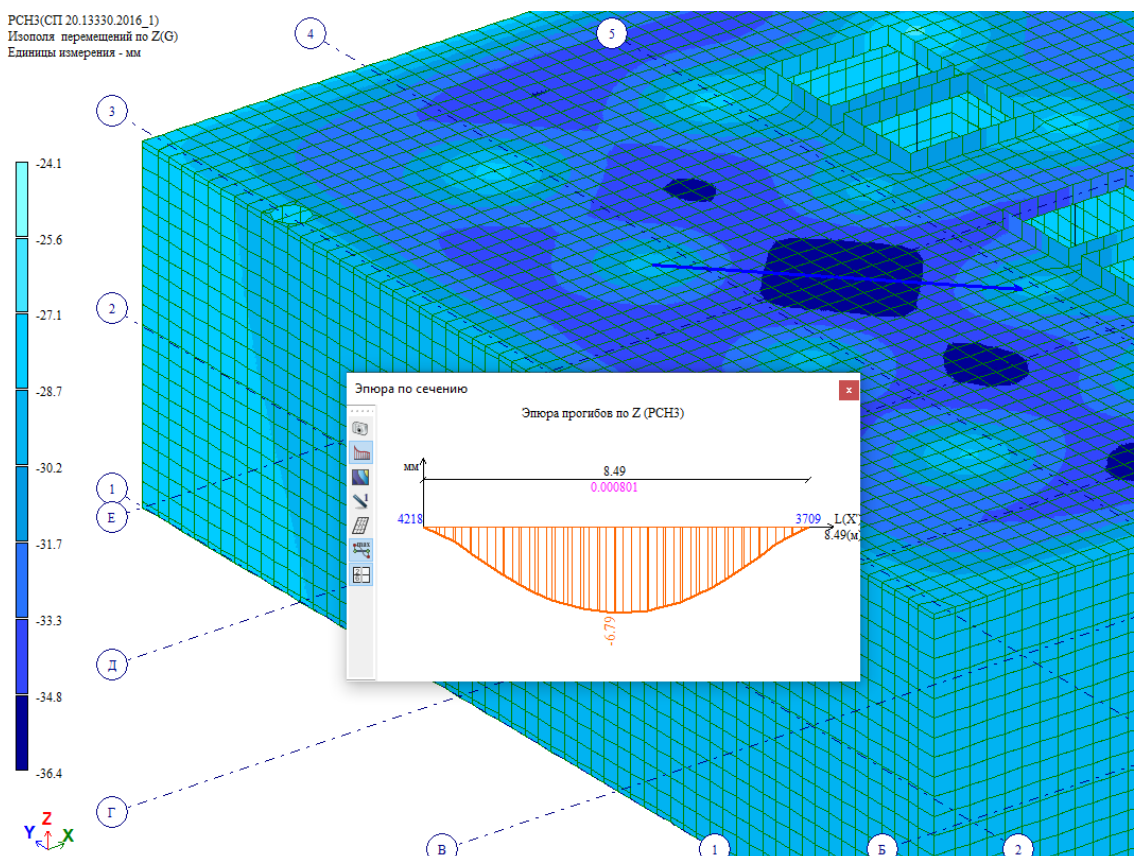


Рис. 5.6. Изополя перемещений по оси Z по РЧН при ветре по оси X.



Вывод: Согласно требованиям СП20.13330.2016, п.Д.2.1 вертикальный предельный прогиб конструкции составит $8490/350=24,2\text{мм}$, что означает что конструкция удовлетворяет требованиям $24,2\text{мм} > 6,79\text{мм}$.

Изм.	Кол.	№ докум.	Подп.	Дата	116/21-КР.2_PP	Лист
						20

6. РАСЧЕТ ФУНДАМЕНТОВ

6.1. Моделирование основания

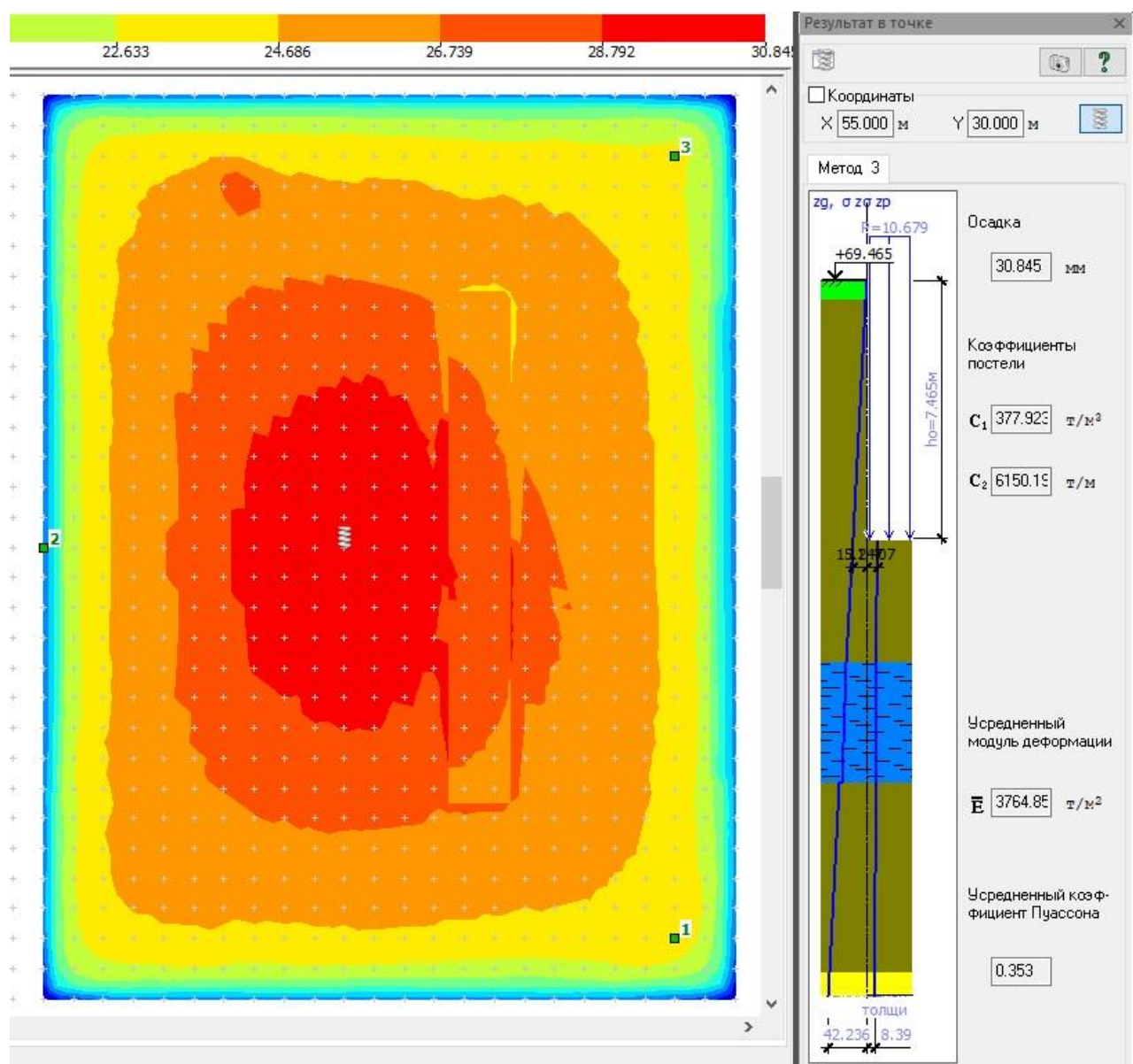


Рис. 6.1.2. Осадка полученная в ЛИРА-САПР 2019 система ГРУНТ.

Вывод: осадка проектируемого здания – $S_{max} = 31\text{мм} < [S] = 150\text{мм}$ (согласно приложению Г, табл.Г.1, СП 22.13330.2016) – условие выполняется

Изм.	Кол.	№ докум.	Подп.	Дата	Лист
					116/21-КР.2_РР 21

6.2. Расчеты фундаментной плиты

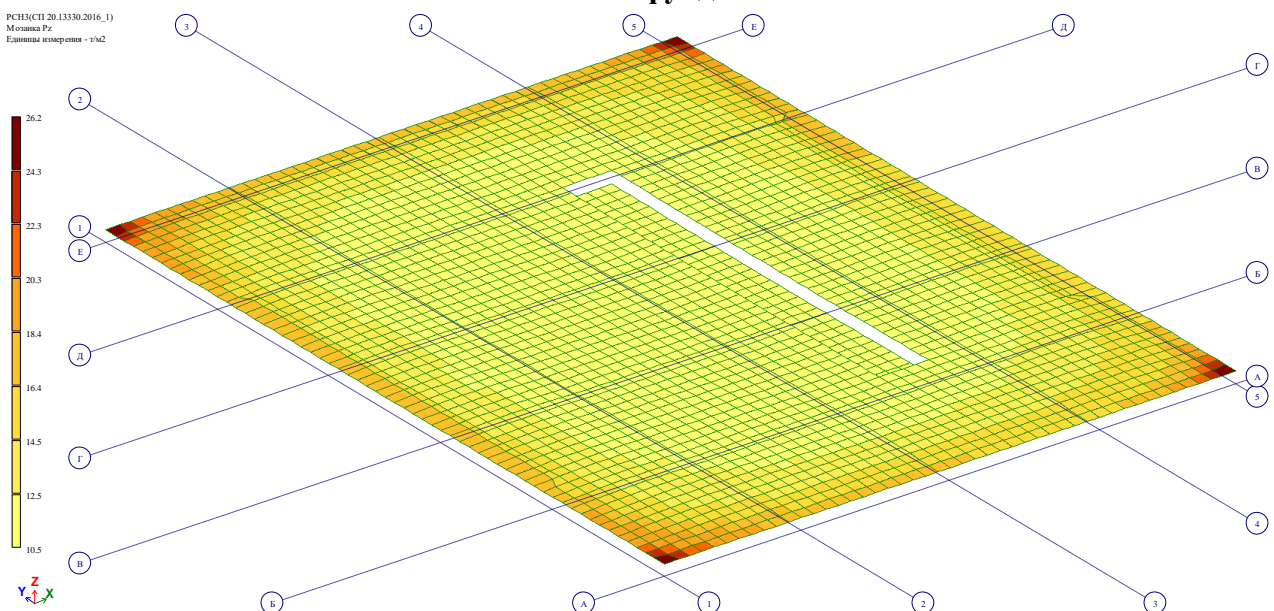


Рис. 6.2.1. Изополя давления под подошвой фундаментной плиты, т/м²

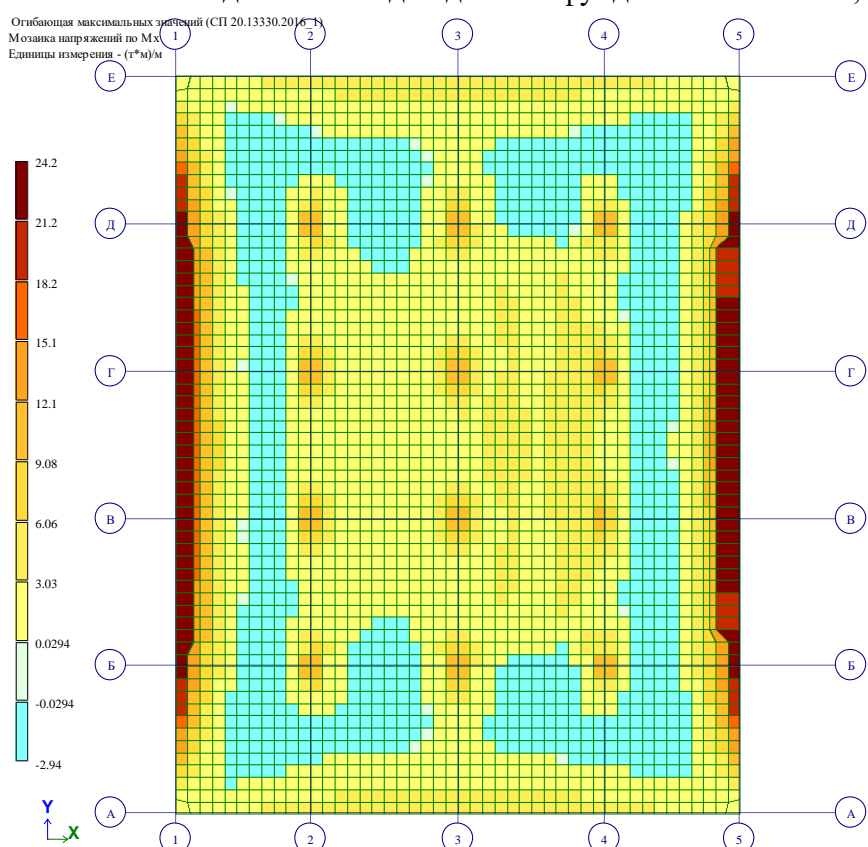


Рис. 6.2.3. Изополя Mx, т*м/м

Изм.	Кол.	№ докум.	Подп.	Дата	116/21-КР.2_PP	Лист
						22

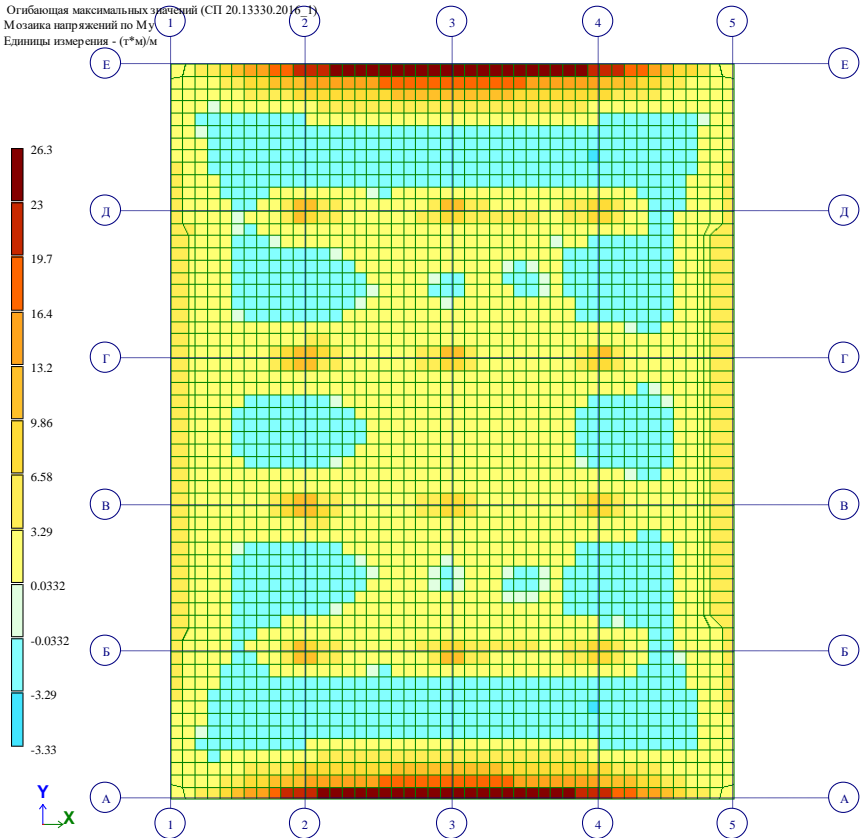


Рис. 6.2.4. Изополя M_y , t^*m/m

Вывод:

При расчете деформаций основания с использованием расчетных схем, указанных в п. 5.67 СП22.13330.2016, среднее давление под подошвой фундамента (P_z , кПа) не должно превышать расчетного сопротивления грунта основания (R), определяемого по формуле:

γII и $\gamma' II$ принимаем с учетом взвешивающего действия воды (в запас) равным 10кН/м³

$$R=1,25*[0,56*1,0*23,8*10+3,24*8,015*10+(3,24-1)*0*10+5,84*33]=768,6\text{кПа}$$

максимальное давление под зданием – $p=262\text{кПа} < R=732,1\text{кПа}$ – условие выполняется.

						Лист
Изм.	Кол.	№ докум.	Подп.	Дата	116/21-КР.2_PP	
					23	

6.3. Армирование фундаментной плиты

Расчет армирования фундаментной плиты был выполнен в ПК ЛИРА-САПР на основании расчетных сочетаний усилий. Исходные данные для расчета:

- толщина плиты – 400 мм;
- расстояние до центра нижней арматуры – 68 мм;
- расстояние до центра верхней арматуры – 68 мм;
- материалы – бетон В25, продольная арматура – А500.

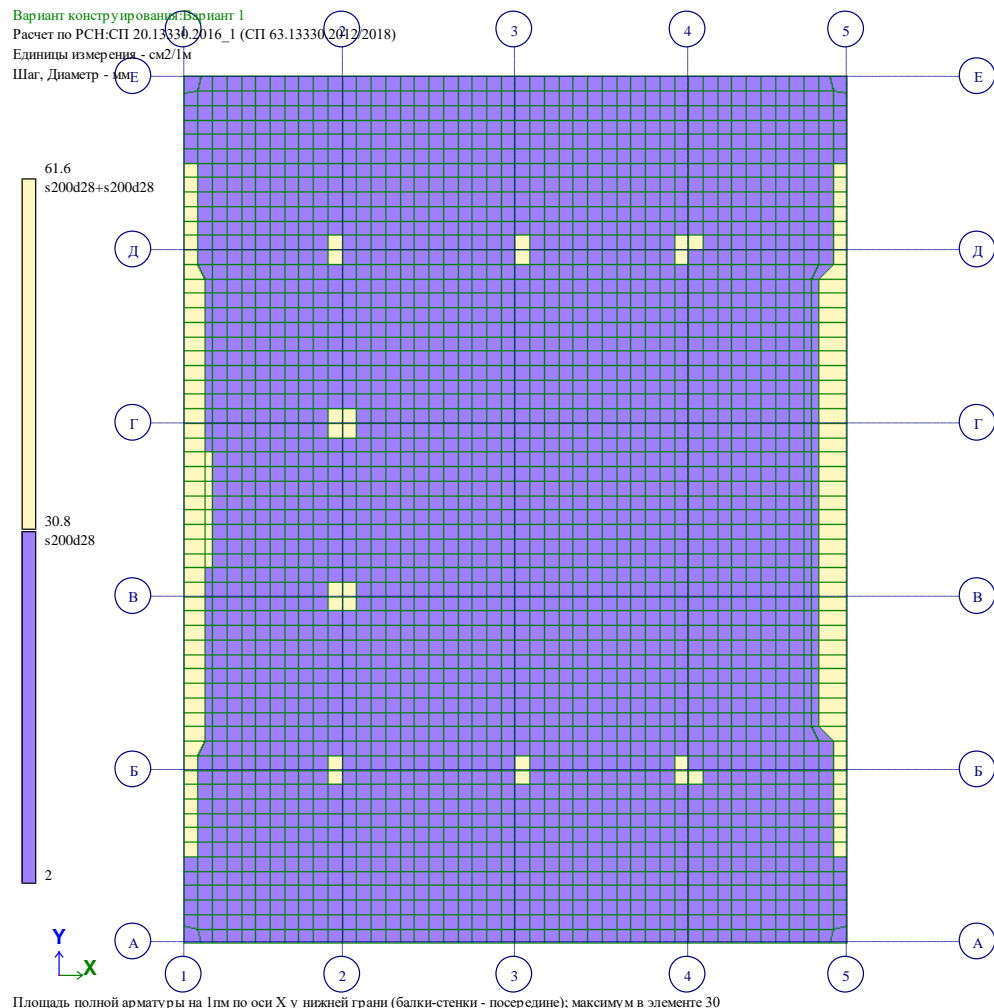


Рис. 6.3.1. Изополя армирования – нижняя арматура по X

					116/21-КР.2_РР	Лист
Изм.	Кол.	№ докум.	Подп.	Дата		24

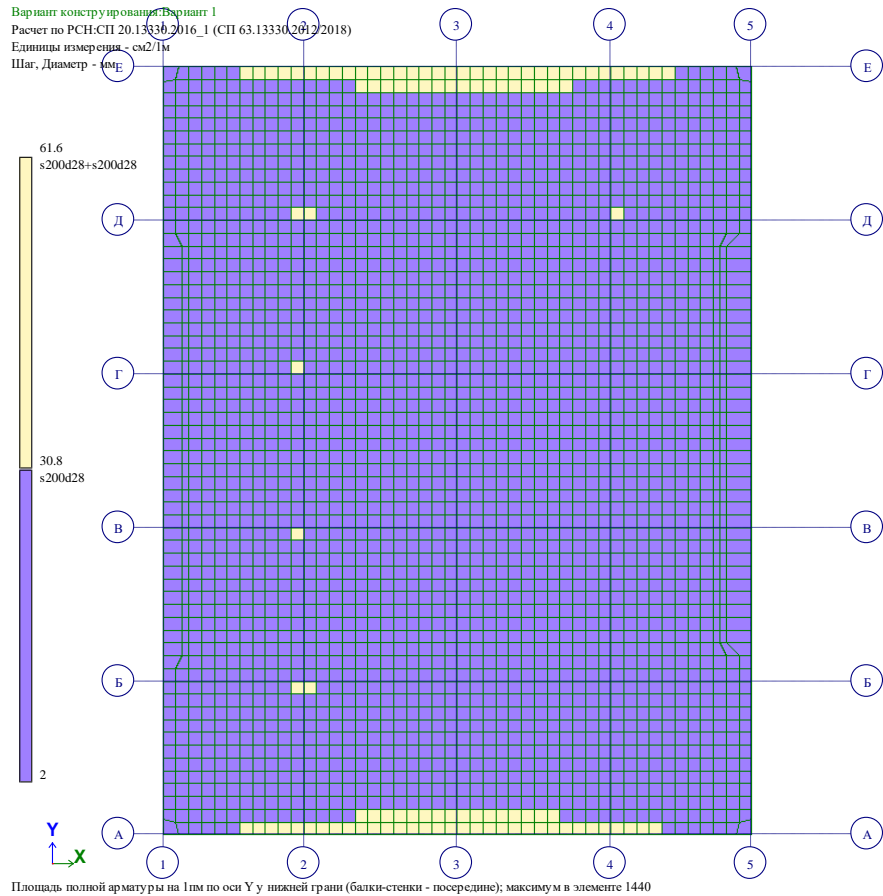


Рис. 6.3.2. Изополя армирования – нижняя арматура по Y

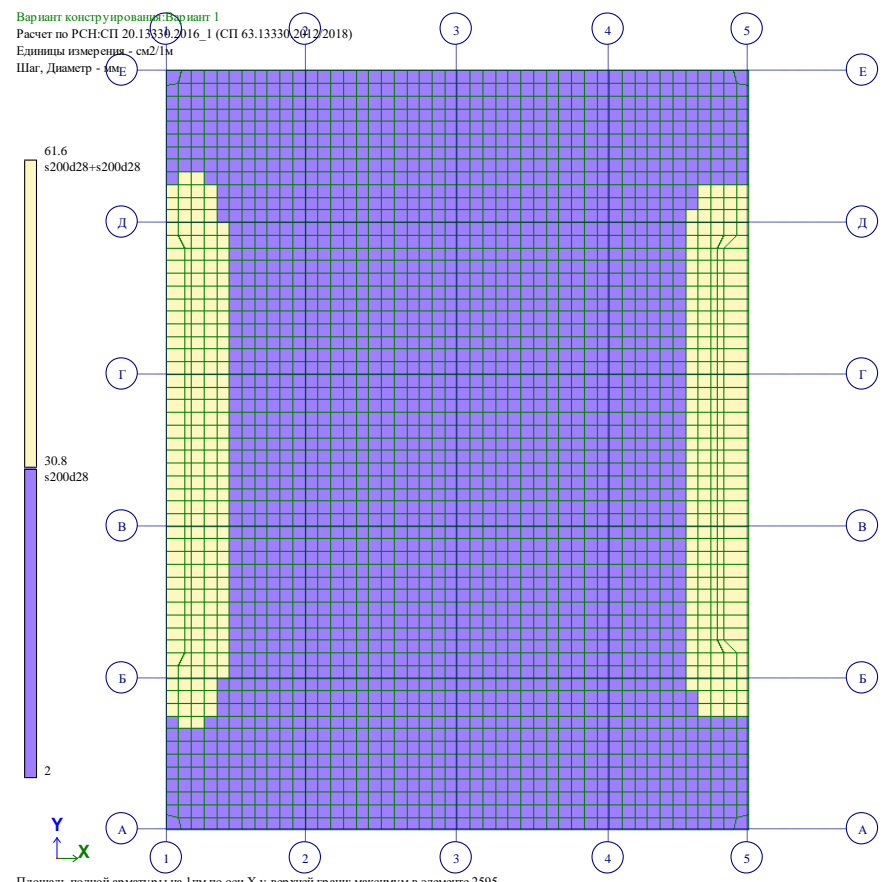


Рис. 6.3.3. Изополя армирования – верхняя арматура по X

Изм.	Кол.	№ докум.	Подп.	Дата	Лист 116/21-KP.2_PP	25

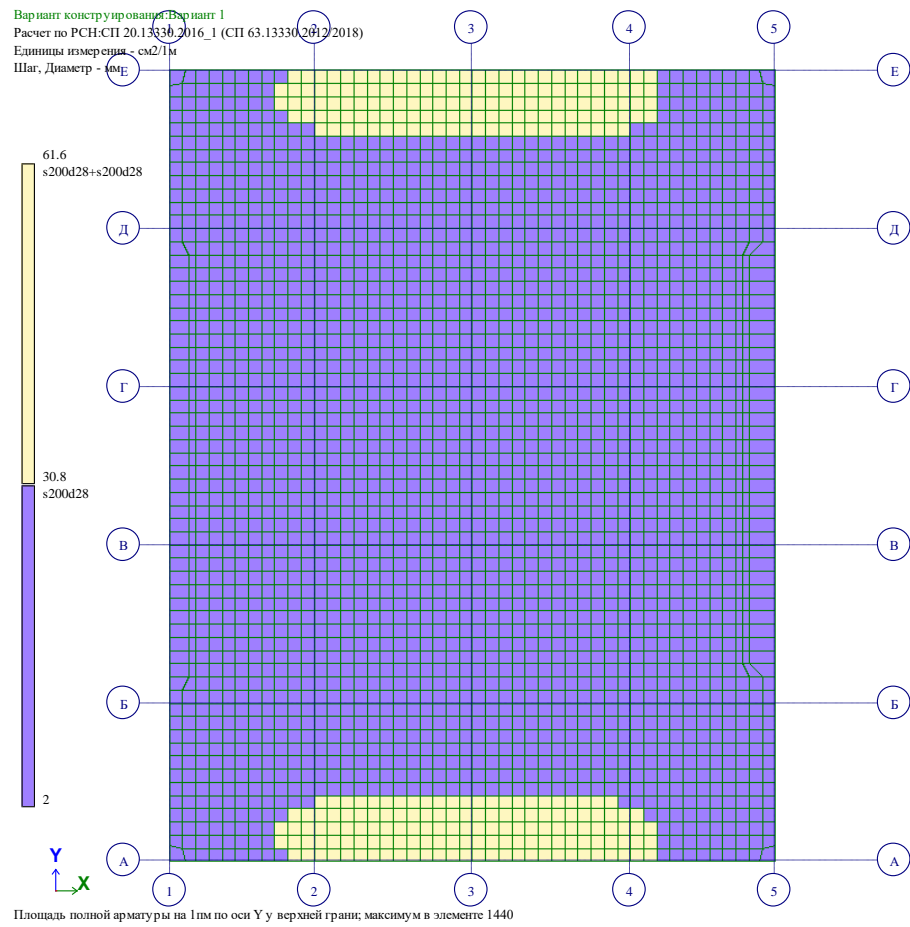
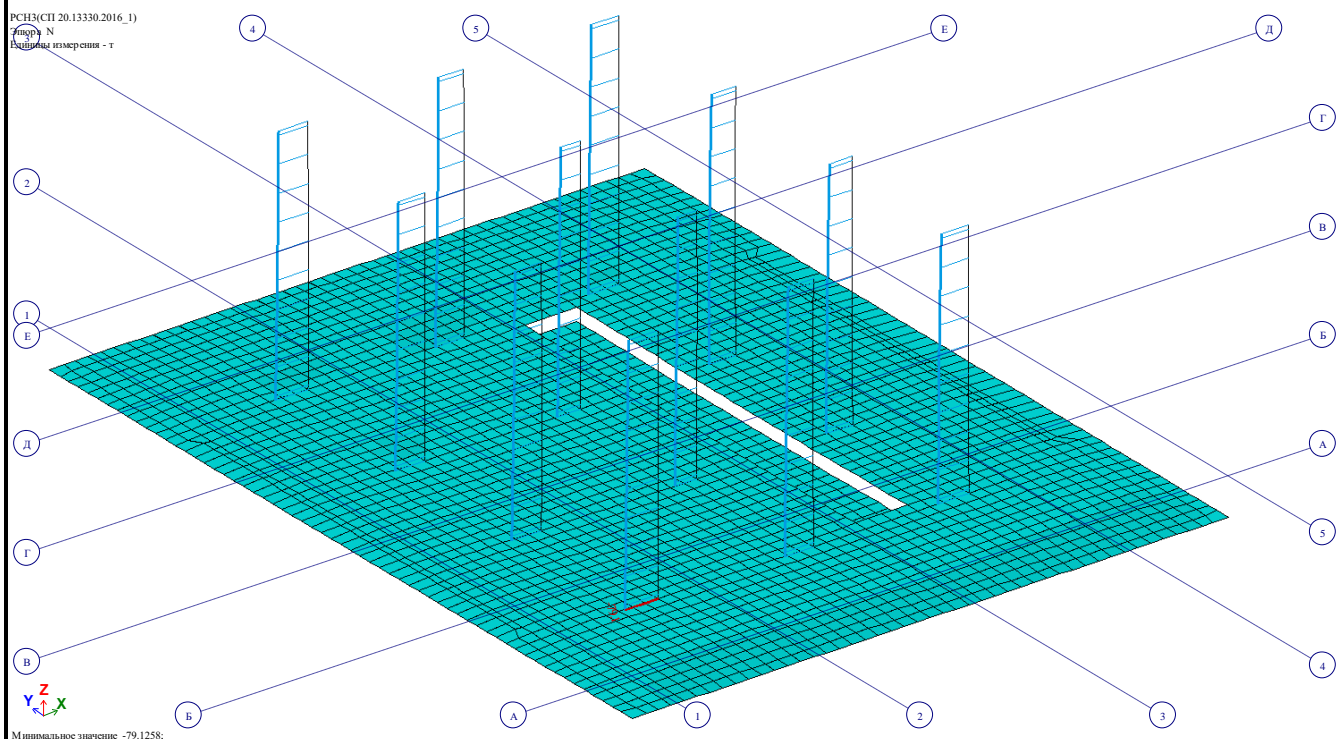


Рис. 6.3.4. Изополя армирования – верхняя арматура по Y

					116/21-КР.2_PP	Лист
Изм.	Кол.	№ докум.	Подп.	Дата		26

6.4. Расчет фундаментной плиты на продавливание

Продавливание наиболее нагруженной колонной. Расчет при толщине плиты 400мм:



Расчет железобетонных элементов на продавливание по СП 63.13330 учетом положений научно-технического отчета ГУП НИИЖБ (договор № 709 от 01.10.2002)

Фундаментная плита

Сечение колонны	
b _{1z} , мм	600
a _{1z} , мм	600
c _{1z} , мм	
c _{yz} , мм	

Сечение плиты	
h, мм	400
a _{xz} , мм	54
a _{yz} , мм	82
h _{0z} , мм	332

Нагрузки у граней плиты		
	над плитой	под плитой
F _z , т	79.1	
M _{xz} , тм	-1.44	
M _{yz} , тм	-2.19	
q _z , т/м ²		4.5

Расчетный контур внутри площади плиты	
l _{xz} , м	0.932
l _{yz} , м	0.932
u, м	3.728
x _{0z} , м	
y _{0z} , м	
x, м	
y, м	
e _{0xz} , м	
e _{0yz} , м	
A _{qz} , м ²	0.869
A _{yz} , м ²	1.598
e _{qz} , м	
e _{yz} , м	

Нагрузки на расчетный контур	
N _{supz} , т	79.100
M _{x,z,supz} , тм	-1.440
M _{y,z,supz} , тм	-2.190
N _{intz} , т	
M _{x,z,intz} , тм	
F _{qz} , т	0.793
0.5·M _{x,z,locz} , тм	-0.720
0.5·M _{y,z,locz} , тм	-1.095
F _{qz} , т	7.190
M _{x,z,Fz} , тм	
M _{y,z,Fz} , тм	
F, т	72.703
M _{xz} , тм	-0.720
M _{yz} , тм	-1.095

Несущая способность бетонного сечения без поперечной арматуры

Бетон		I _{bx1} , м ³	0.1349	I _{by1} , м ³	0.1349
Класс	B25	I _{bx2} , м ³	0.4048	I _{by2} , м ³	0.4048
R _{btz} , т/м ²	107	I _{bx3} , м ³	0.5397	I _{by3} , м ³	0.5397
γ _{bt}	1	W _{bx} , м ²	1.1582	W _{by} , м ²	1.1582
A _{bx} , м ²	1.2377	W _{bx} , м ²	1.1582	W _{by} , м ²	1.1582
F _{bt,ult} , т	132.433	M _{bx,ult} , тм	41.143	M _{by,ult} , тм	41.143
F/F _{bt,ult}	0.549	M _{x/M_{bx,ult}}	0.018	M _{y/M_{by,ult}}	0.027

0.593 < 1

Условие прочности выполнено. Прочность обеспечена.

В установке поперечной арматуры нет необходимости.

Изм.	Кол.	№ докум.	Подп.	Дата	Лист

7. РАСЧЕТ КОЛОНН

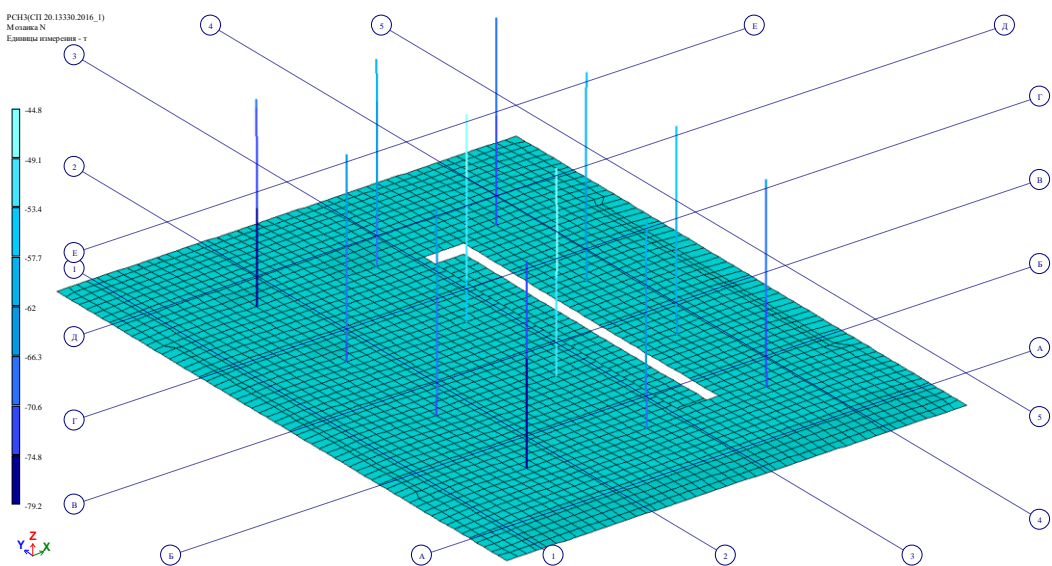


Рис. 7.1. Усилия N в колоннах, т.

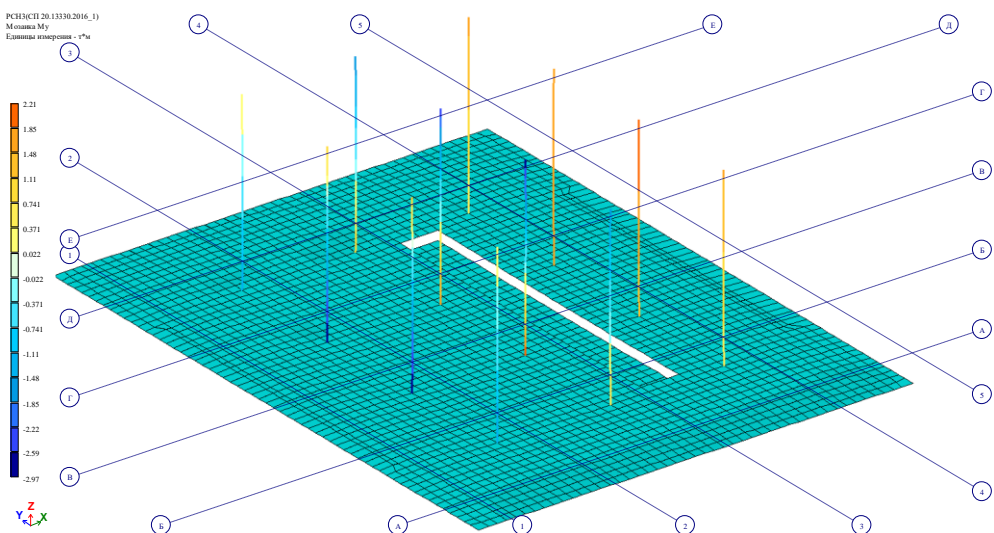


Рис. 7.2. Моменты My в колоннах, т×м.

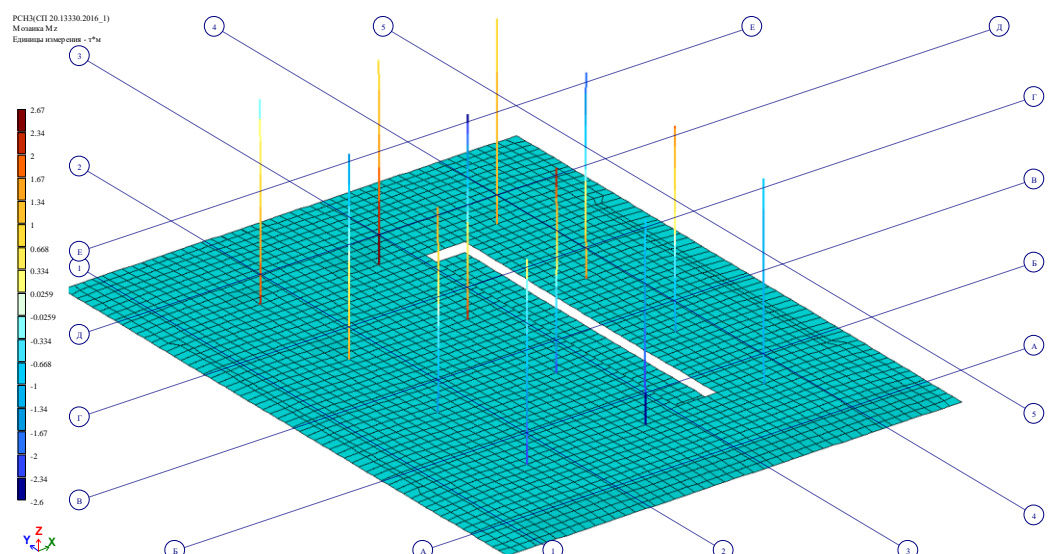


Рис. 7.3. Моменты Mz в колоннах, т×м.

Изм.	Кол.	№ докум.	Подп.	Дата	116/21-KP.2_PP	Лист
						28

7.1. Подбор арматуры в колоннах

Расчет произведен по максимальным значениям, вычисленным по итогам анализа расчетной схемы

- сечение колонны – 600x600 мм;
- расстояние до центра нижней арматуры – 54 мм;
- расстояние до центра верхней арматуры – 54 мм;
- материалы – бетон В25, продольная арматура – А500.

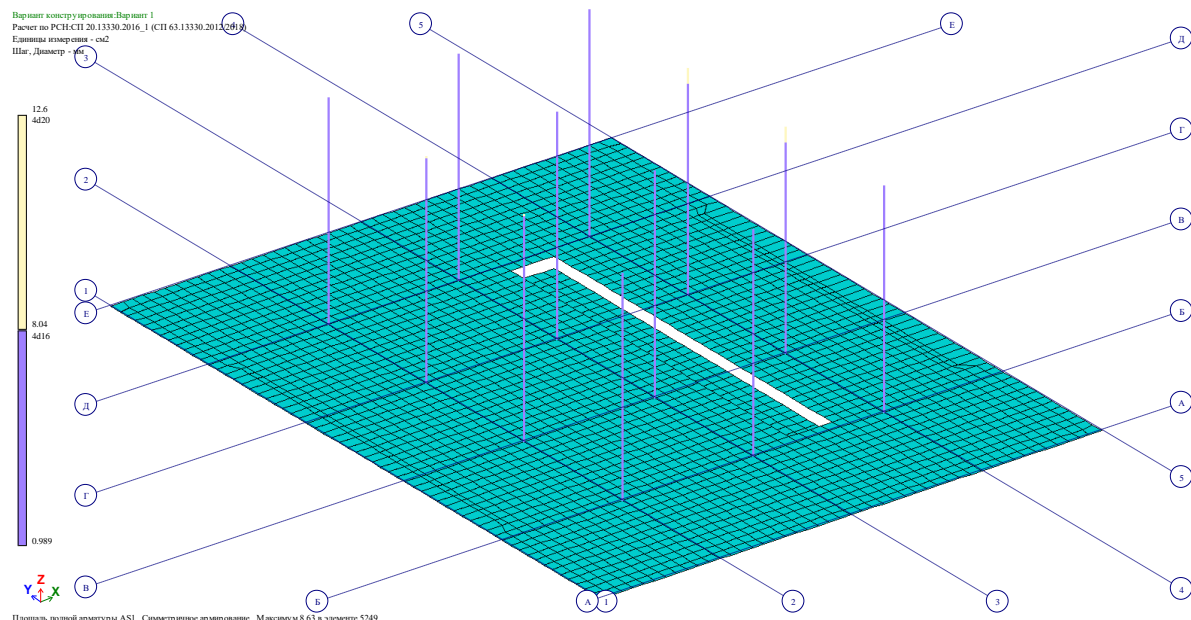


Рис. 7.4. Площадь арматуры колонны (AS1, AS2).

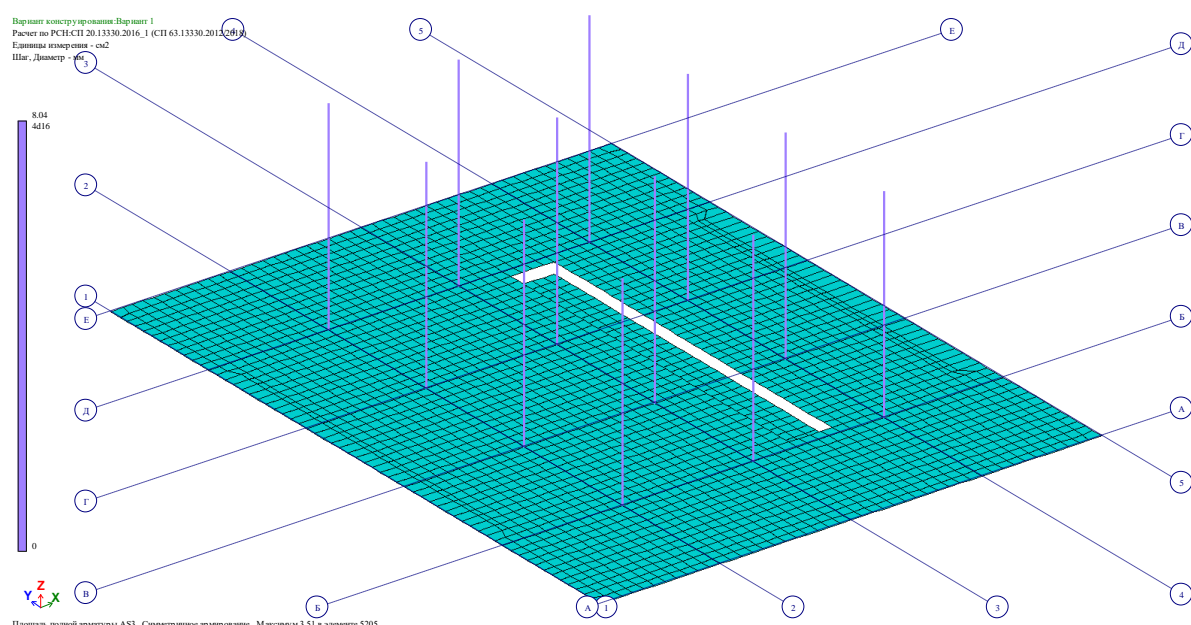


Рис. 7.5. Площадь арматуры колонны (AS3, AS4).

Изм.	Кол.	№ докум.	Подп.	Дата	116/21-КР.2_РР	Лист
						29

8. РАСЧЕТ СТЕН

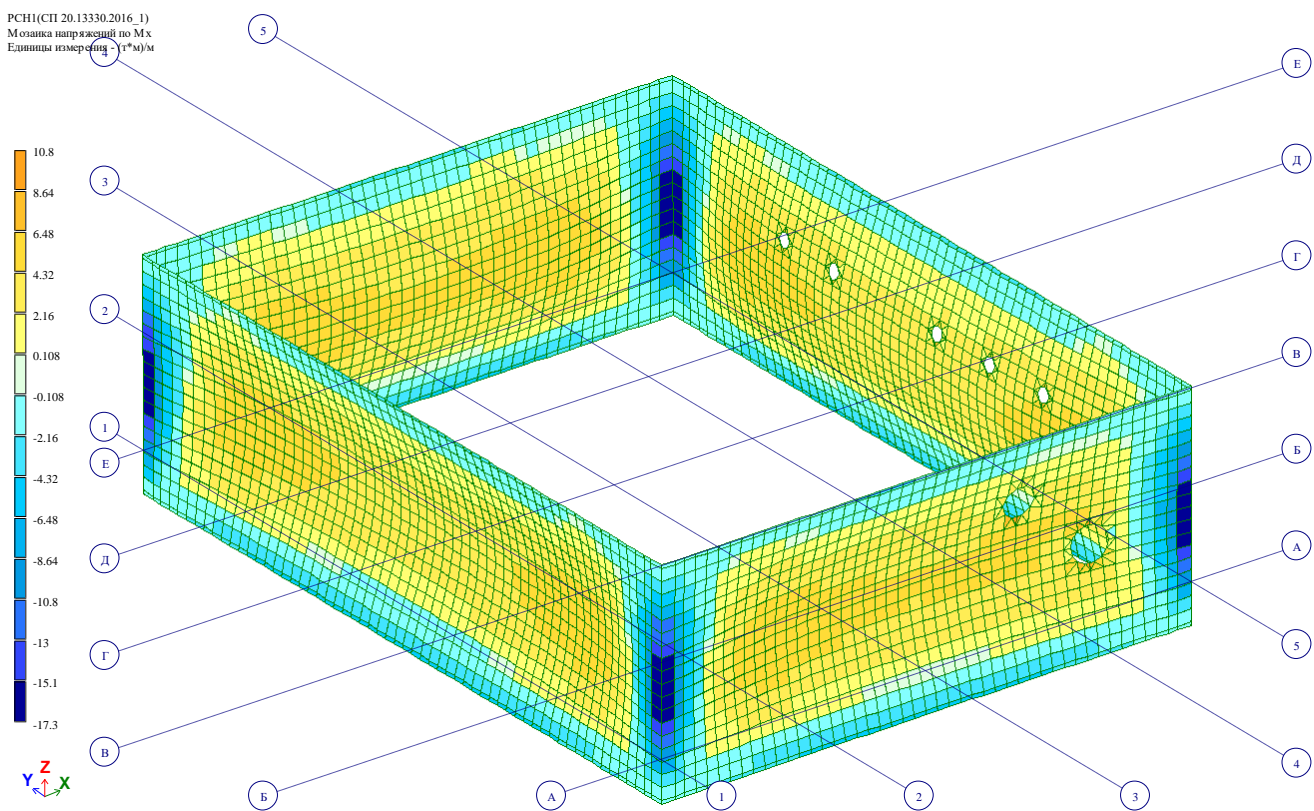


Рис. 8.1. Моменты M_x в стенах, $(\text{т}\times\text{м})/\text{м}$.

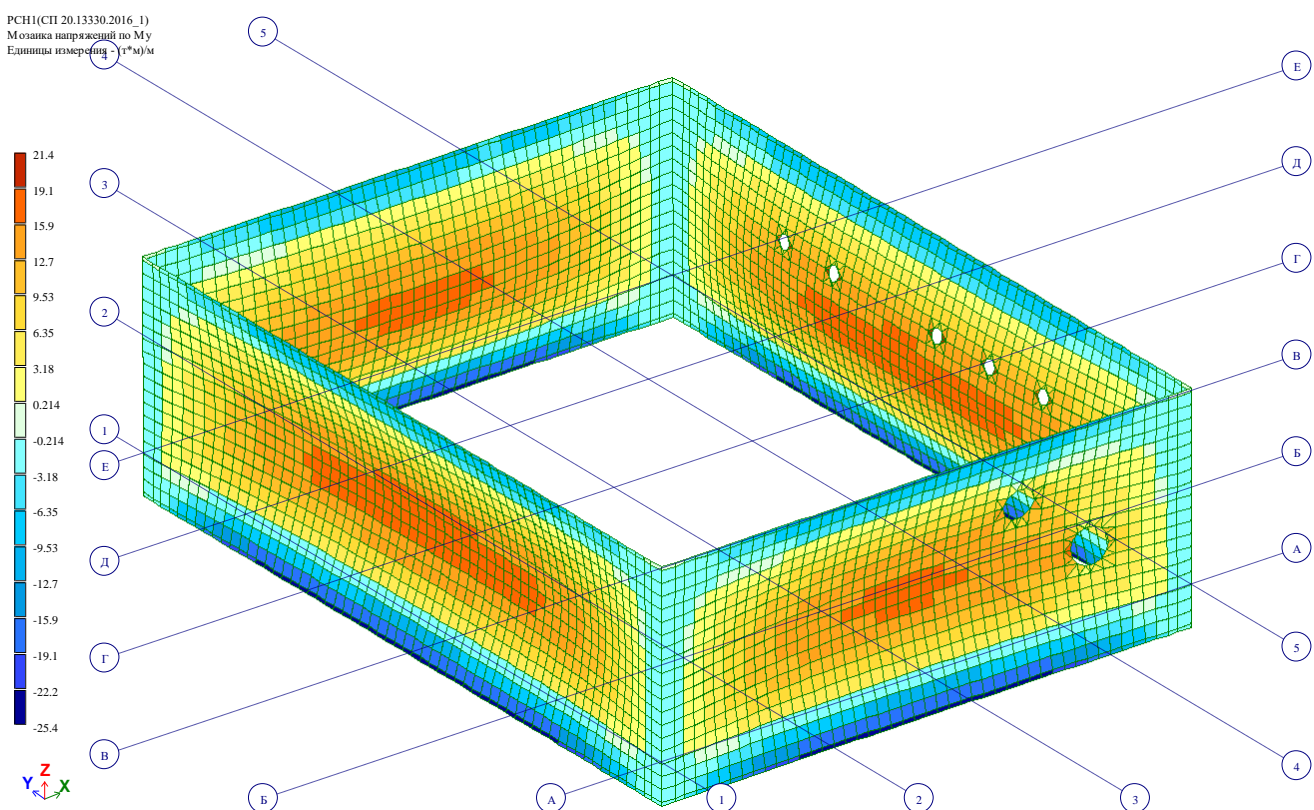


Рис. 8.2. Моменты M_y в стенах, $(\text{т}\times\text{м})/\text{м}$.

8.1. Подбор арматуры в стенах

Расчет произведен по максимальным значениям, вычисленным по итогам анализа расчетной схемы

- толщина стен – 400 мм;
- расстояние до центра нижней арматуры – 68 мм;
- расстояние до центра верхней арматуры – 68 мм;
- материалы – бетон В25, продольная арматура – А500.

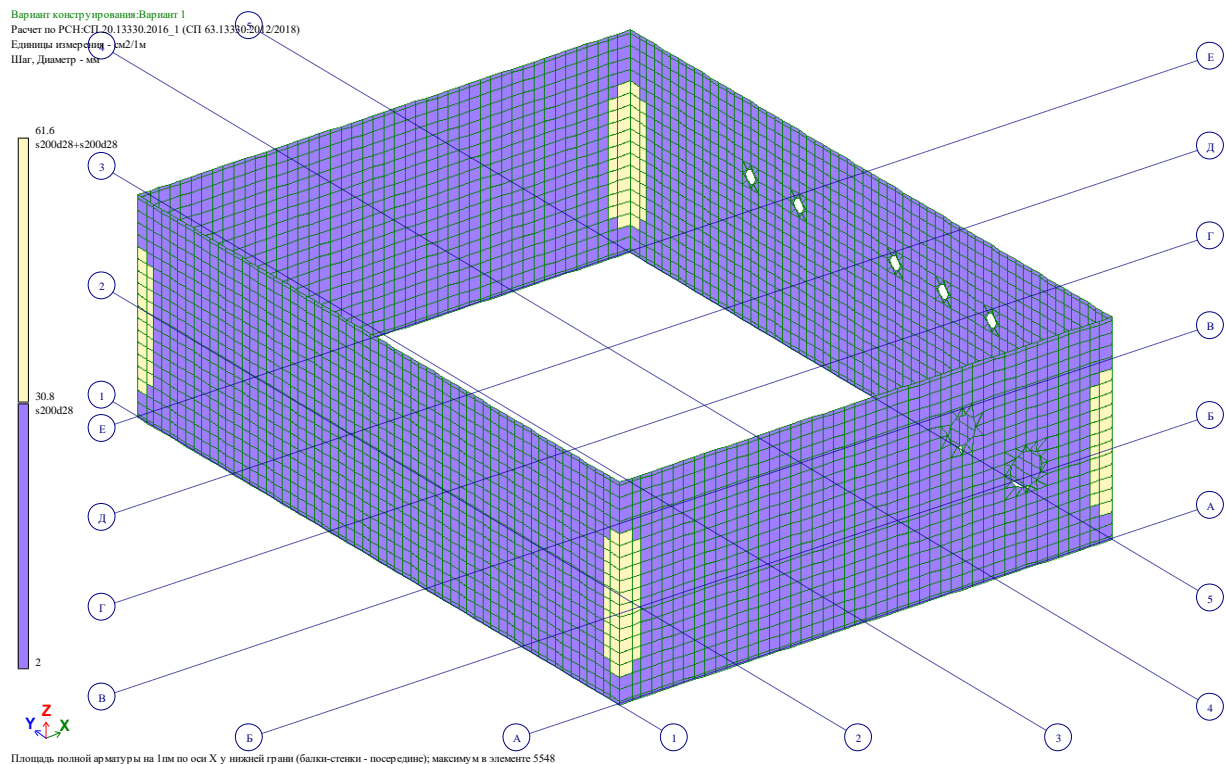


Рис. 8.3. Площадь по X у нижней грани.

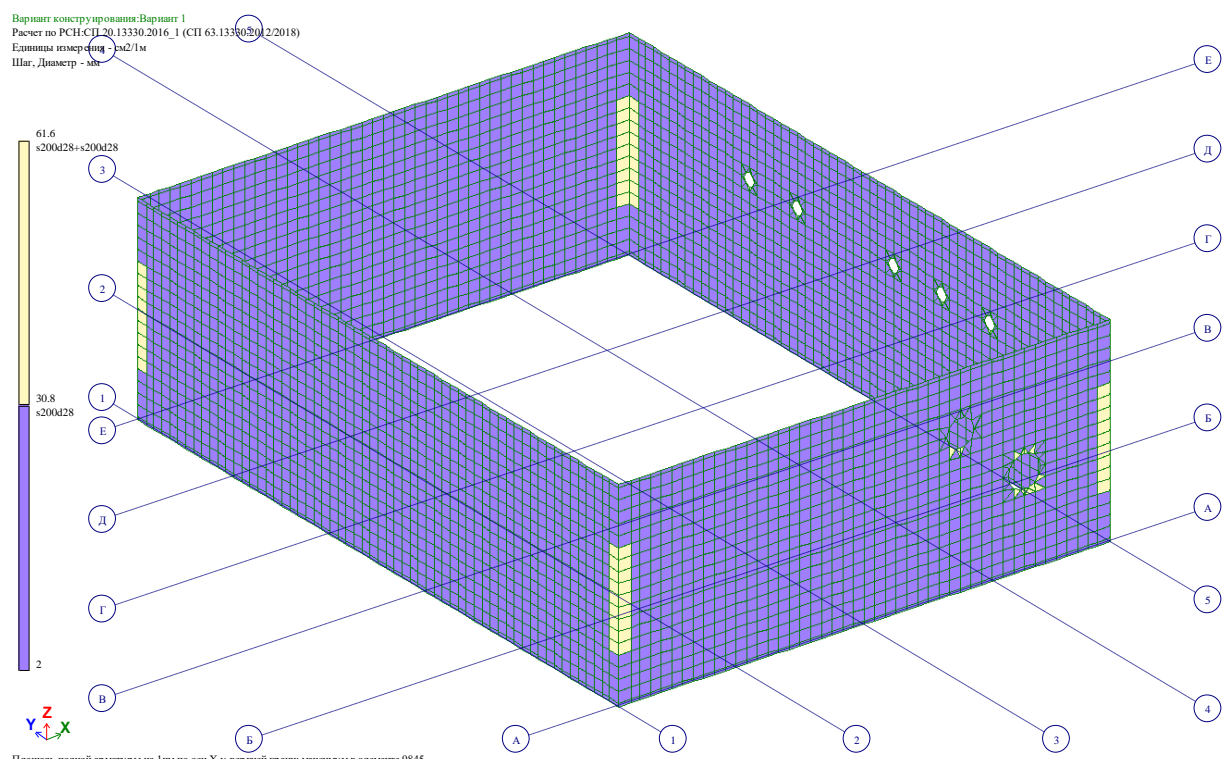


Рис. 8.4. Площадь по X у верхней грани.

Изм.	Кол.	№ докум.	Подп.	Дата	Лист 116/21-КР.2_PP

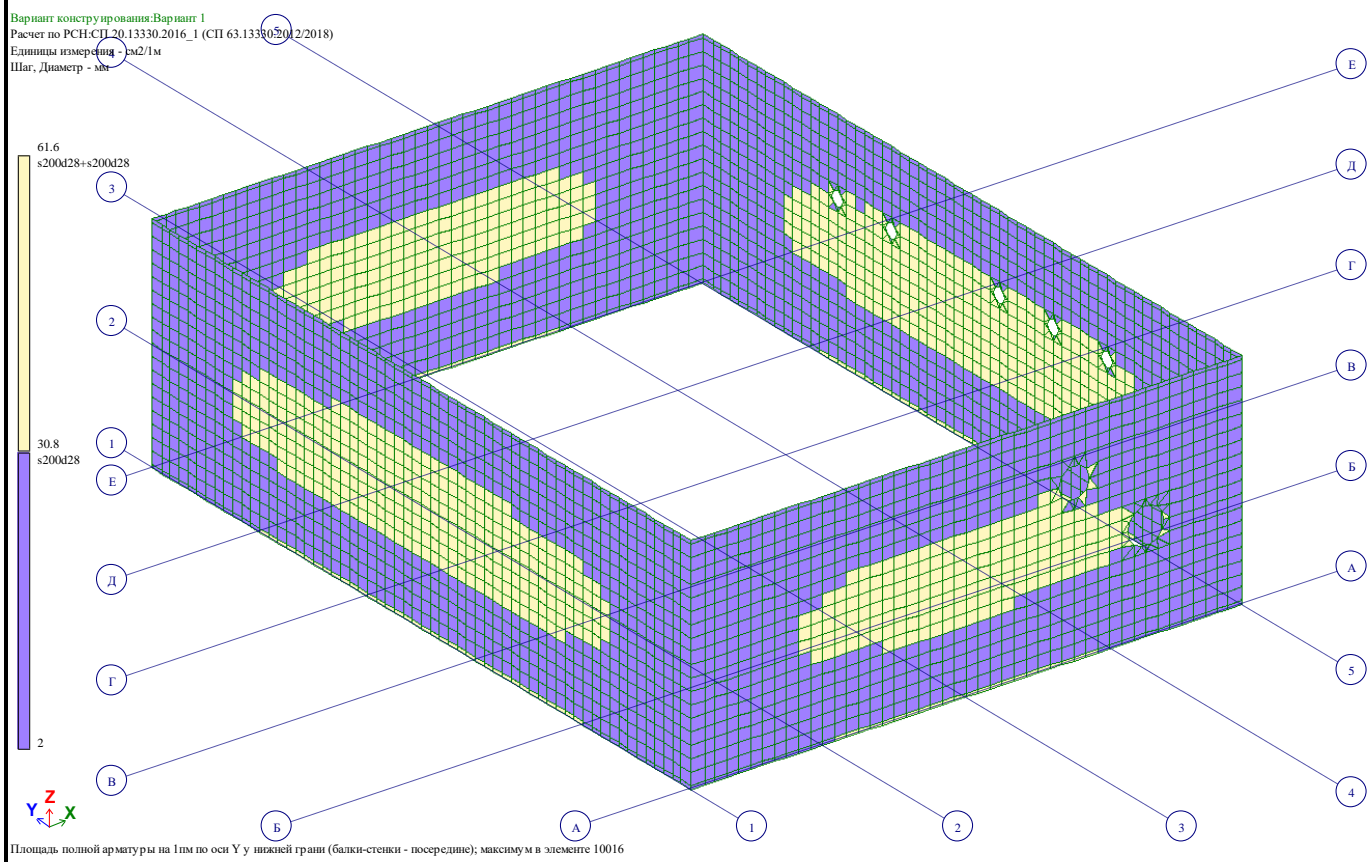


Рис. 8.5. Площадь по X у нижней грани.

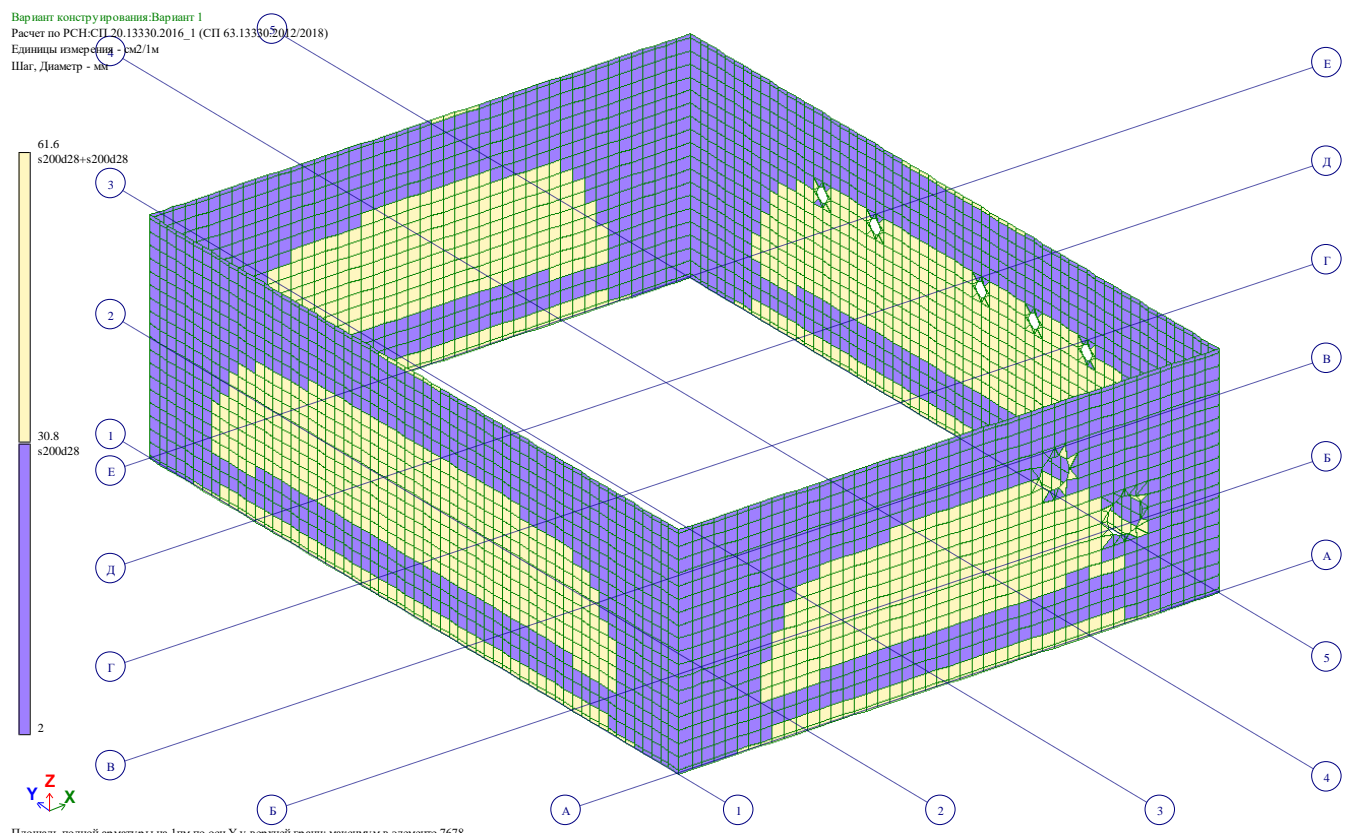


Рис. 8.6. Площадь по Y у верхней грани.

Изм.	Кол.	№ докум.	Подп.	Дата	Лист 116/21-КР.2_PP
32					

9. РАСЧЕТ ПОКРЫТИЯ

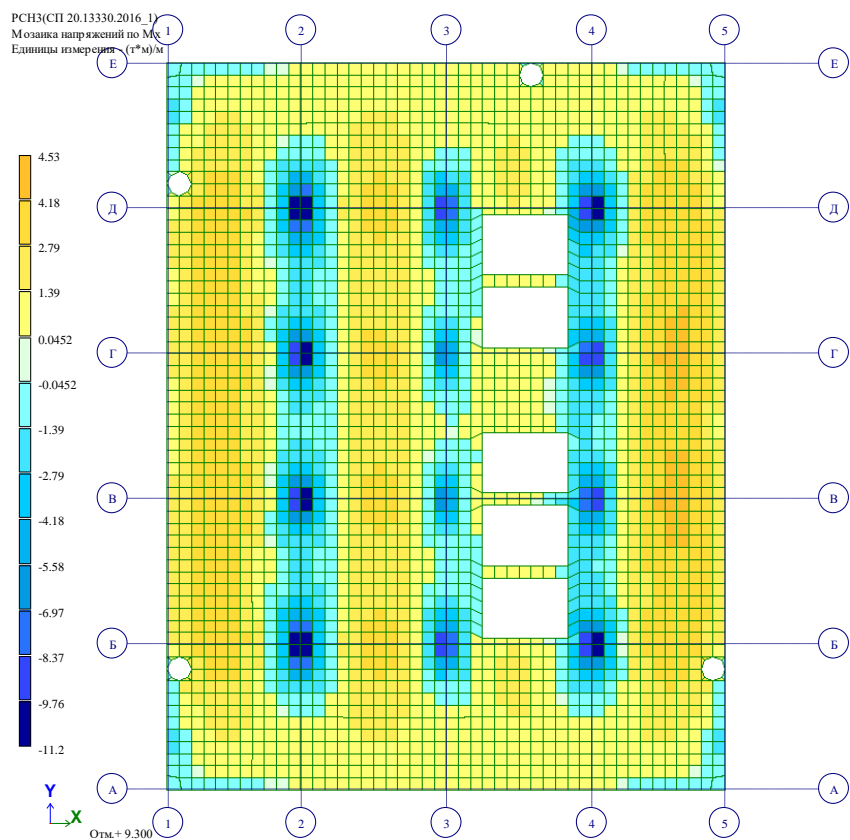


Рис. 9.1 Изополя Мх перекрытия на отм. 0,000

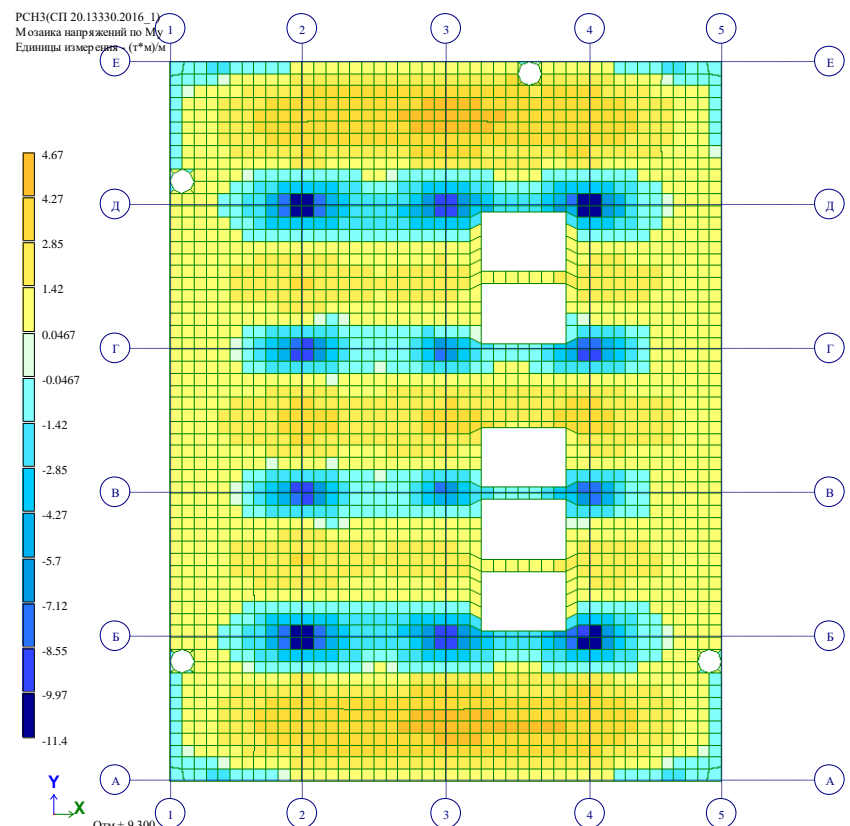


Рис. 9.2 Изополя My перекрытия на отм. 0,000

Иzm.	Кол.	№ докум.	Подп.	Дата	116/21-KP.2_PP	Лист
						33

9.1. Армирование плиты покрытия

Расчет армирования плиты перекрытия выполнен на основании расчетных сочетаний усилий. Исходные данные для расчета:

- толщина плиты – 300 мм;
- расстояние до центра нижней арматуры – 68 мм;
- расстояние до центра верхней арматуры – 68 мм;
- материалы – бетон В25, продольная арматура – А500.

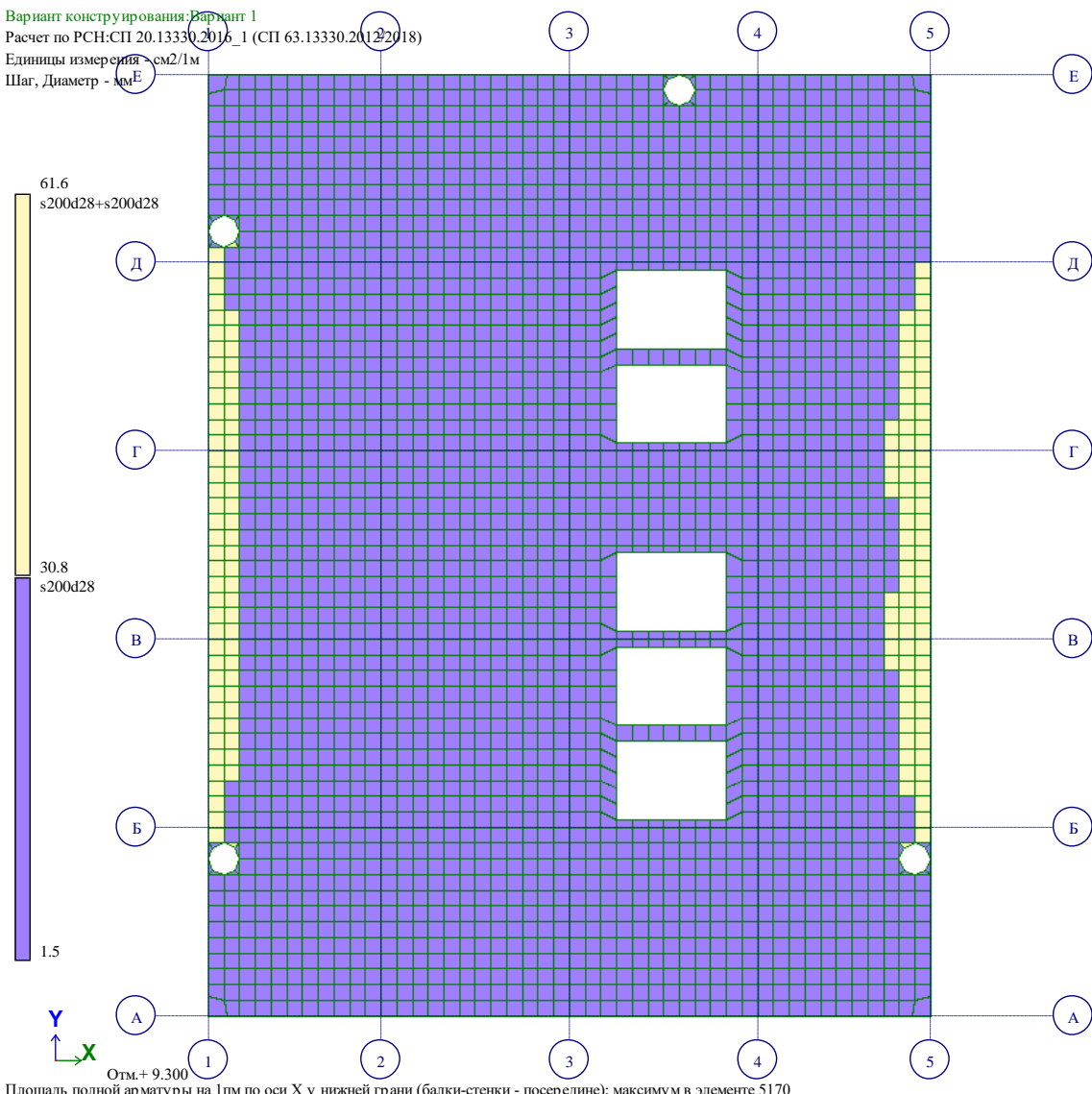


Рис. 9.3. Изополя армирования (плиты перекрытия на отм. +0,000) - нижняя арматура по X

					Лист
Изм.	Кол.	№ докум.	Подп.	Дата	116/21-КР.2_PP
					34

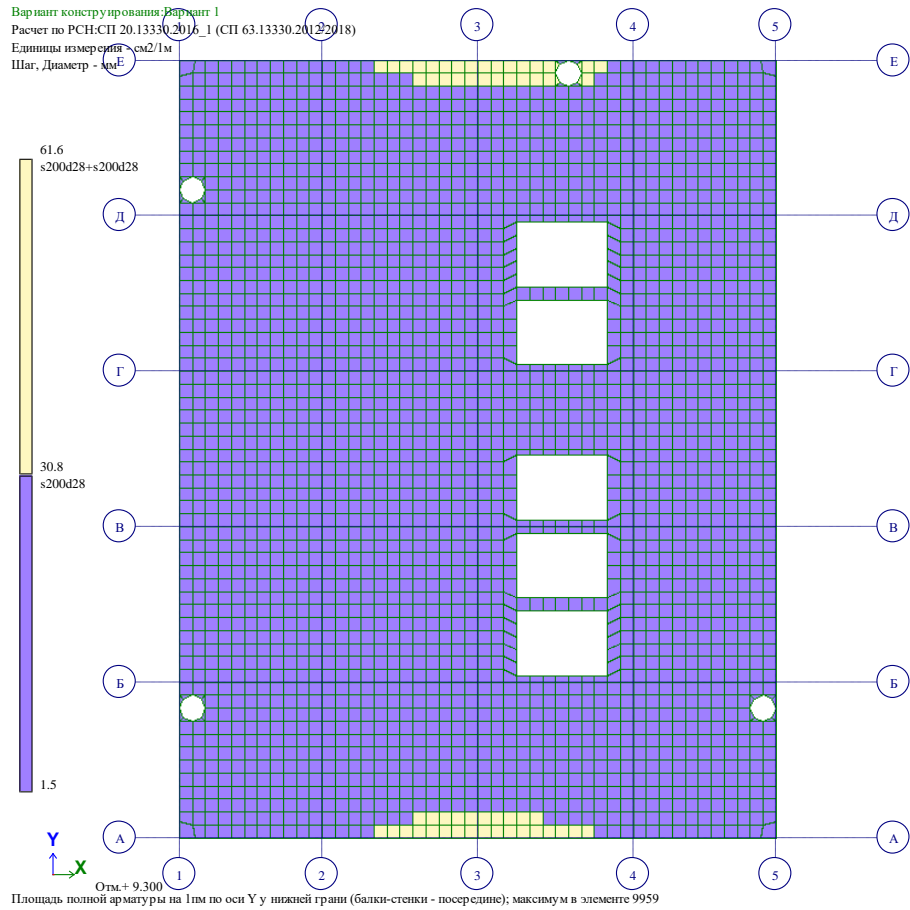


Рис. 9.4. Изополя армирования (плиты перекрытия на отм. +0,000) - нижняя арматура по Y

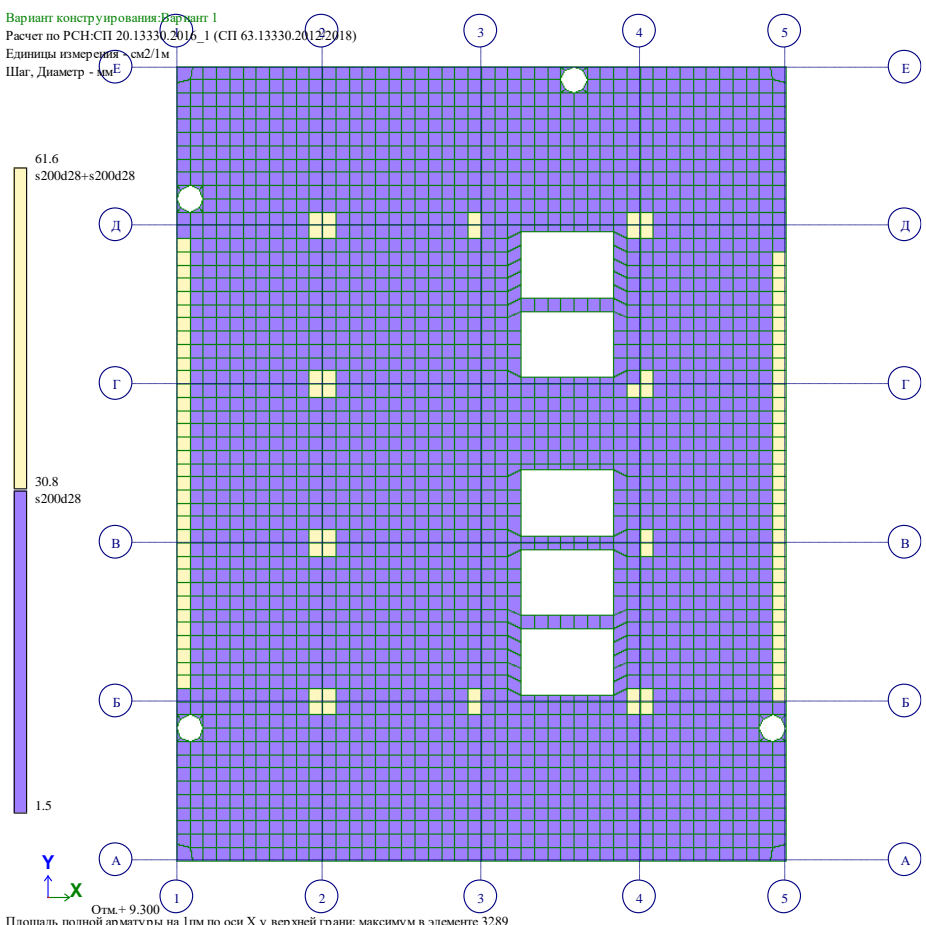


Рис. 9.5. Изополя армирования (плиты перекрытия на отм. +0,000) - верхняя арматура по X

Изм.	Кол.	№ докум.	Подп.	Дата	116/21-KP.2_PP	Лист
						35

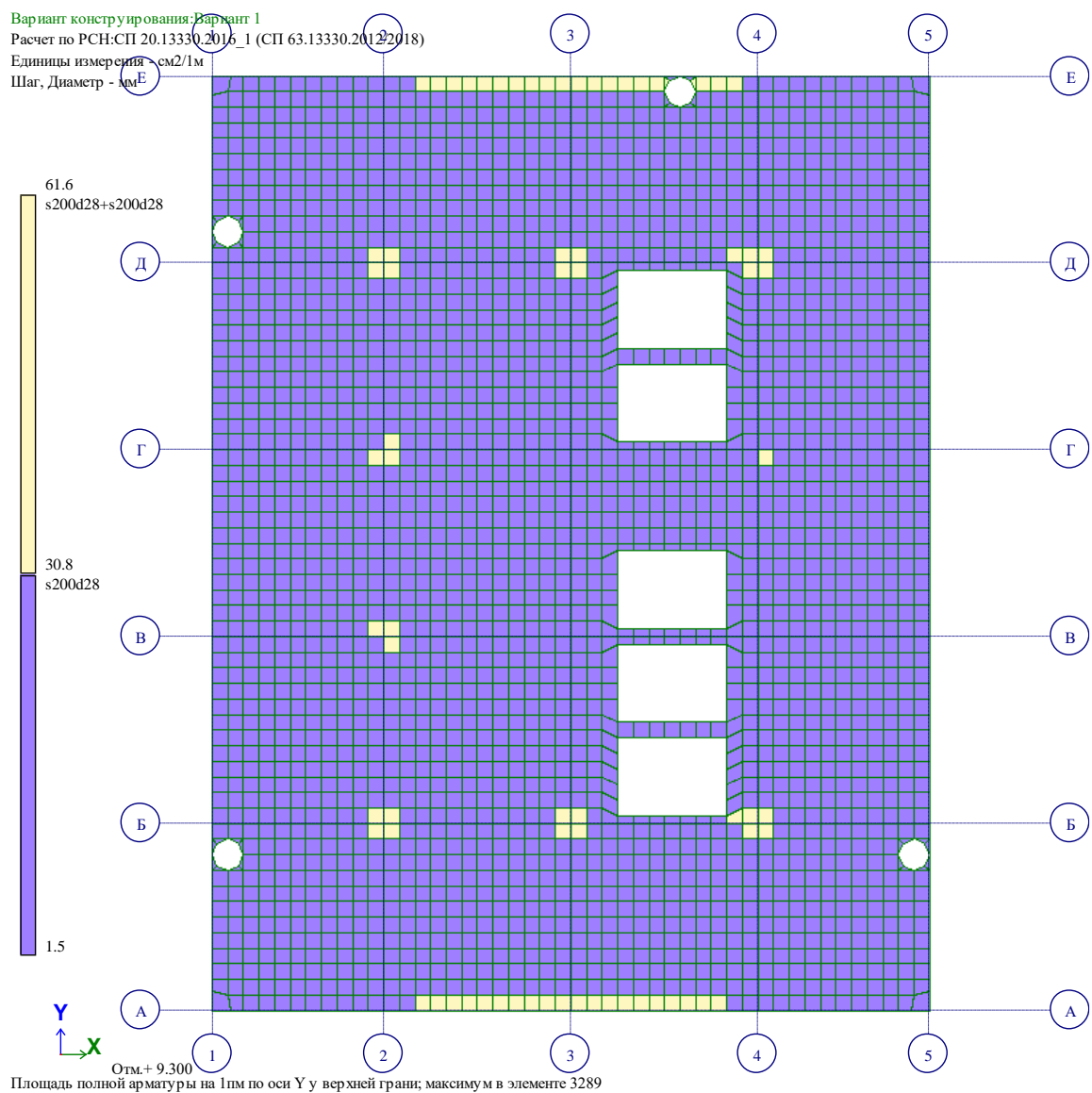
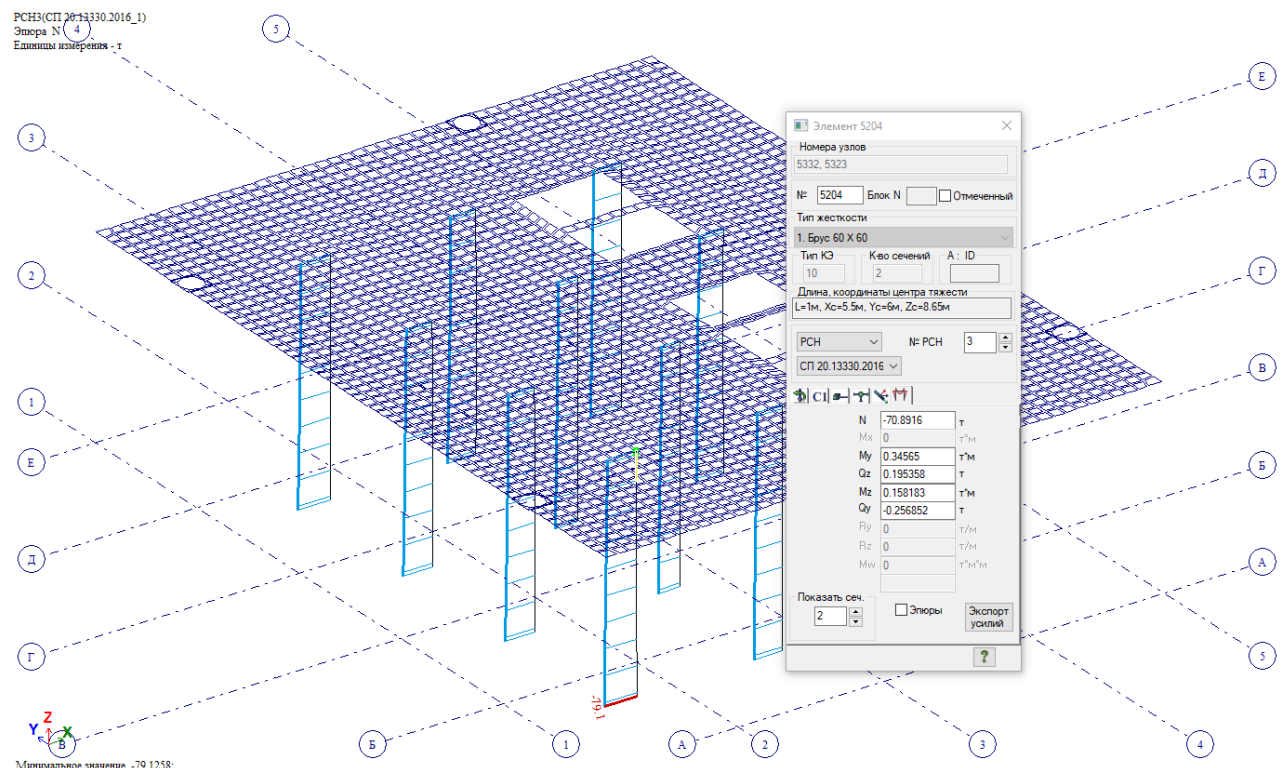


Рис. 9.6. Изополя армирования (плиты перекрытия на отм. +0,000) - верхняя арматура по Y

					116/21-КР.2_PP	Лист
Изм.	Кол.	№ докум.	Подп.	Дата		36

9.2. Расчет на продавливание

Расчет на продавливание плиты покрытия средней колонной в осях Б-2 сечением 600x600.



**Расчет железобетонных элементов на продавливание по СП 63.13330
учетом положений научно-технического отчета ГУП НИИЖБ (договор № 709 от 01.10.2002**

Плита покрытия

Сечение колонны	
b ₁ , мм	600
a ₁ , мм	600
c ₁ , мм	
c ₂ , мм	

Сечение плиты	
h, мм	300
a ₁ , мм	44
a ₂ , мм	72
h ₀ , мм	242

Нагрузки у граней плиты	
над плитой	
F _h , т	70.9
M _{xh} , тм	0.346
M _{yh} , тм	0.158
q _h , т/м ²	

Расчетный контур внутри площади плиты	
I _h , м	0.842
I _v , м	0.842
u, м	3.368
x ₀ , м	
y ₀ , м	
x, м	
y, м	
a _{0x} , м	
a _{0y} , м	
A _{q1} , м ²	0.709
A _{q2} , м ²	1.175
a _{qx} , м	
a _{qy} , м	

Нагрузки на расчетный контур					
N _{sup1} , т		M _{x,sup1} , тм	0.346	M _{y,sup1} , тм	0.158
N _{int1} , т	70.900	M _{xq1} , тм		M _{yq1} , тм	
F _{q1z} , т	0.472	0.5·M _{x,loc1} , тм	0.173	0.5·M _{y,loc1} , тм	0.079
F _{q2} , т		M _{x,F2} , тм		M _{y,F2} , тм	
F, т	70.428	M _{xz} , тм	0.173	M _{yz} , тм	0.079

Несущая способность бетонного сечения без поперечной арматуры

Бетон		I _{bx1} , м ³	0.0995	I _{by1} , м ³	0.0995
Класс	B25	I _{bx2} , м ³	0.2985	I _{by2} , м ³	0.2985
R _{bx} , т/м ²	107	I _{bx} , м ³	0.3980	I _{by} , м ³	0.3980
γ _{b1}	1	W _{bx} , м ²	0.9453	W _{by} , м ²	0.9453
A _{bx} , м ²	0.8151	W _{+bx} , м ²	0.9453	W _{+by} , м ²	0.9453
F _{bx,ult} , т	87.211	M _{bx,ult} , тм	24.477	M _{by,ult} , тм	24.477
F/F _{bx,ult}	0.808	M _{/M_{bx,ult}}	0.007	M _{/M_{by,ult}}	0.003

0.818 < 1

Условие прочности выполнено. Прочность обеспечена.

В установка поперечной арматуры нет необходимости.

					116/21-KP.2_PP					Лист
					Изм.	Кол.	№ докум.	Подп.	Дата	